

# آنالیز ریز رخسارهای، شواهد ژئوشیمیایی و پتروگرافی برای تشخیص کانی‌شناسی اولیه کربنات‌های سازند دالان در میدان گازی پارس جنوبی

رقیه فلاح بگتاش\*، محمد حسین آدابی؛

دانشگاه شهید بهشتی، دانشکده علوم زمین، گروه زمین‌شناسی

۹۴/۱۲/۱۵ پذیرش ۹۳/۱۲/۳ دریافت

## چکیده

سازند دالان با سن پرمنین پسین در ناحیه زاگرس چین‌خورده و خلیج فارس دارای منابع عظیم گازی است به‌طوری‌که این سازند به‌همراه سازند کنگان به سن تریاس در حوضه رسوی خلیج فارس، حدود ۵۰ درصد از ذخایر گازی را دارند. بر مبنای پژوهش‌های پتروگرافی سازند دالان در چاه شماره X در میدان گازی پارس جنوبی دارای ۳۷۰ متر ضخامت با لیتو‌لوجی غالب دولومیت، آهک دولومیتی و آهک به‌همراه میان لایه‌های انیدریتی است. شناسایی ترکیب کانی‌شناسی اولیه این کربنات‌ها بدليل تأثیر فرآیندهای دیاژنتیکی براساس بررسی‌های پتروگرافی امری دشوار است، زیرا به مرور زمان آراغونیت و کلسیت دارای منیزیم زیاد به کلسیت کم منیزیم تبدیل شده و باعث تغییر بافت و ترکیب اولیه سنگ می‌شوند. در نتیجه باید از بررسی‌های عنصری به‌عنوان مکمل پژوهش‌های پتروگرافی یاری جست. مقادیر عناصر اصلی و فرعی در کربنات‌ها به ترکیب کانی‌شناسی آن‌ها وابسته است و ترکیب کانی‌شناسی نیز به نوع خود تحت تأثیر فرآیندهای دیاژنزی تغییر می‌یابد. بررسی عناصر اصلی (Ca, Mg, Fe, Na, Sr) و فرعی (Mn) و مقایسه آن‌ها با نتایجی که محققان مختلف برای ترکیب کانی‌شناسی آراغونیتی ارائه کرده‌اند، و براساس شواهد پتروگرافی نظیر تخلخل قالبی اییدی، فراوانی زیاد دوکفه‌ای‌ها، دولومیتی شدن انتخابی، اسپالد اییدی، سیمان فیبری هم ضخامت دریایی بیان‌گر ترکیب اولیه آراغونیتی در سازند بررسی شده است. براساس پژوهش‌های پتروگرافی و شناسایی ریز رخساره‌ها، تعداد ۱۸ ریز رخساره برای سازند دالان شناسایی شده است. با توجه به ریز رخساره‌های شناسایی شده، این توالی کربناته روی یک پلتفرم کربناته از نوع رمپ هموکلینیال نهشته شده است.

واژه‌های کلیدی: سازند دالان، رمپ کربناته، کانی‌شناسی اولیه آراغونیتی، ژئوشیمی رسوی.

## مقدمه

سنگ‌های کربناته سازند دالان به‌عنوان بزرگ‌ترین مخزن گازدار در منطقه زاگرس و خلیج فارس به‌شمار می‌رود [۵]. سازند دالان به سن پرمنین به‌همراه سازند کنگان به سن تریاس در حوضه رسوی خلیج فارس، حدود ۵۰ درصد از ذخایر گازی را دارند [۵]. سازند دالان در نواحی زاگرس چین‌خورده و بخش‌های وسیعی از خلیج فارس به‌عنوان اصلی‌ترین سازند گازدار به‌شمار می‌رود [۶]. در این پژوهش یک برش زیرسطحی از سازند دالان در چاه شماره X در

\*نویسنده مسئول rogaye.1262@gmail.com

میدان گازی پارس جنوبی بررسی شده است. هدف از این پژوهش تعیین ترکیب کانی‌شناسی اولیه سازند دالان به کمک شواهد ریز رخسارهای و بررسی‌های عناصر اصلی و فرعی، تفکیک نمونه‌های دولومیتی از آهکی است. بررسی تغییرات عناصر اصلی و فرعی، مکمل پژوهش‌های پتروگرافی است و در شناسایی هر چه بیشتر کانی‌شناسی اولیه سنگ‌های کربناته ما را راهنمایی می‌کند. از تغییرات این عناصر همچنین می‌توان به اطلاعاتی نظری تغییرات سطح آب دریا، نوع محیط دیاژنزی و روند فرآیندهای دیاژنتیکی حاکم بر کربناتهای دست یافت. رسوبات مختلف در محیط‌های مختلف از نظر دمایی و ترکیب کانی‌شناسی اولیه دارای عناصر فرعی مختلفی هستند به طوری که حتی پس از اعمال فرآیندهای دیاژنسی متئوریک یا تدفینی و تبدیل کربناتهای ناپایدار آراغونیت و کلسیت دارای منیزیم زیاد به کلسیت کم منیزیم این اختلافات حفظ شده و گویای معادلهای دیرینه آن‌هاست [۱].

### زمین‌شناسی عمومی

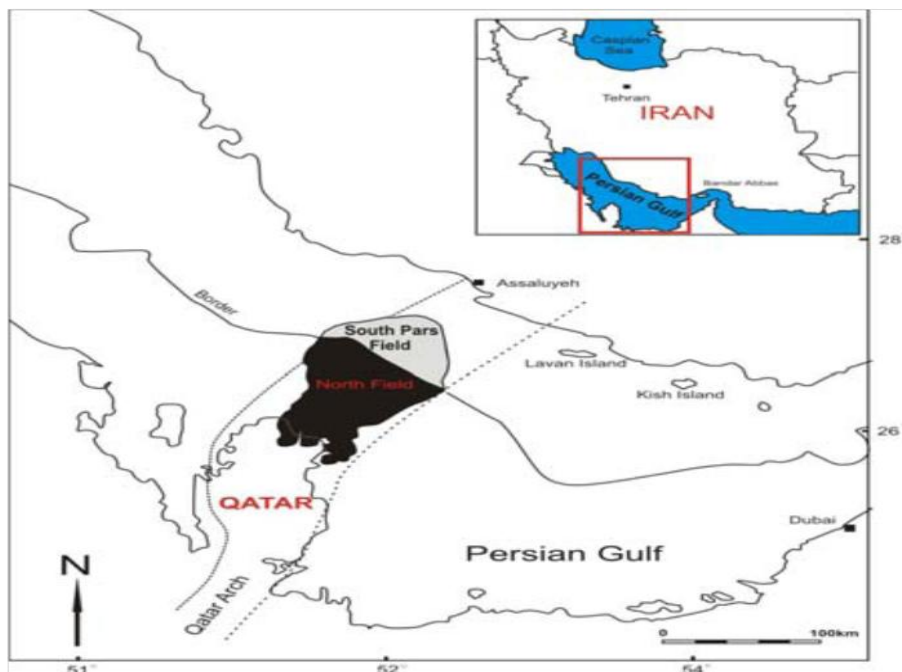
میدان پارس جنوبی در موقعیت ۵۲/۵ تا ۵۲ درجه شرقی و ۲۶/۵ تا ۲۷ درجه شمالی، در حدود ۱۰۰ کیلومتری بندر عسلویه، ۱۷۵ کیلومتری بندر کیش و ۱۰۵ کیلومتری سواحل قطر به وسعت ۶۰۰۰ کیلومتر مربع است (شکل ۱). آن‌چه در نقشه‌های منطقه قابل مشاهده است، پارس جنوبی (گنبد شمالی قطر) دارای طول تقریبی ۱۵۰ کیلومتر و عرض تقریبی ۷۰ کیلومتر است. این ساختمان در واقع تداومی از پلانچ شمال شرقی ساختمان عظیم گازی گنبدی شکل، در شمال شرق شبه‌جزیره قطر است که تحت عنوان گنبد شمالی قطر<sup>۱</sup> شناخته شده است [۷]. کمان قطر حوضه خلیج فارس را به دو بخش شمال غربی و جنوب شرقی تقسیم کرده و در جهت شمال نیز به کمریند چین- خوردگی زاگرس که به عنوان یک ساختار شناخته شده کوه‌زایی اواخر آلپین، مرکب از تاقدیس‌های عظیم است، محدود می‌شود.

این ساختمان گنبدی از نوع رویشی است و عامل رویش آن برخاستن پی‌سنگ در کمان قطر به شمار می‌آید [۸]. وجود نازک‌شدگی در ستیغ و ستبرشدگی یال‌های تاقدیس در سازند دشتک و سازندهای جوان تر تا پالئوزن بهوسیله لرزه‌نگاری مشخص شده است. این ساختار در طی تریاس دچار **ریزش** شده و در تورونین این رویش شدت یافته و بالاخره در طی نئوژن متوقف شده است. هر چند امکان نسبت دادن آغاز حرکت به پالئوزوئیک هنوز مردود شناخته نشده است [۲].

### چینه‌شناسی سازند دالان

در برش بررسی شده سازند دالان به سن پرمین پسین و ضخامت ۳۷۰ متر از لیتولوژی غالب آهک و دولومیت تشکیل شده است (شکل ۲). از نظر خصوصیات مخزنی این سازند به سه واحد مخزنی K4 و K3 و K5 (dalan بالایی) و K5 (dalان پایینی) تقسیم می‌شود که زون K4 غنی‌تر از زون‌های دیگر است. بخش انیدریتی نار بین لایه‌های k4 و k5 قرار گرفته و بخش‌های dalan پایینی و dalan بالایی را از هم جدا می‌کند. بخش‌های پایینی و بالایی شامل رسوبات کربناته است که در اثر تغییرات دیاژنسی در حال حاضر از نظر سنگ‌شناسی از ترکیب سنگ آهک، دولومیت و انیدریت تشکیل شده‌اند. در واقع لایه‌های مخزنی k1 و k2 معادل سازند کنگان، k3 و k4 معادل بخش dalan بالایی و k5 معادل بخش

غیرمخزنی دلان پایینی هستند. بخش انیدریتی نار بین لایه‌های k4 و k5 قرار گرفته و بخش‌های دلان پایینی و دلان بالایی را از هم جدا می‌کند [۹]. مرز زیرین سازند دلان، از نوع پیوسته و تدریجی و با سازند آواری فراcon است. دلان بالایی بهوسیله سازند کنگان پوشیده می‌شود. مرز این دو سازند، مرز فرسایشی پرموترباس است که در بررسی بیواستراتیگرافی، لیتواستراتیگرافی و ایزوتوپی چاههای پارس جنوبی به این مسئله اشاره شده است. با بررسی‌های چینه‌شناسی و فسیل‌شناسی که روی ۲ چاه در این میدان [۱۰] و نیز بر رخنمون‌های کوه دنا و سورمه [۱۱] انجام شده است، آشکوب دوراشامین (بالاترین بخش پرمین) بهصورت ناپیوستگی در توالی‌های رسوبی مشاهده شده است.



شکل ۱. موقعیت جغرافیایی میدان پارس جنوبی [۷]

## روش‌های پژوهش

در این تحقیق تعداد ۸۵۶ عدد مقطع نازک تهیه شده از مغذه‌های حفاری بررسی شده است که این مقاطع با محلول آلیارین رد-اس<sup>۱</sup> و فروسیانید پتابسیم به منظور تشخیص کانی کلسیت از دولومیت به روش دیکسون [۱۲] رنگ‌آمیزی شده است. نام‌گذاری ریز رخسارهای کربناته مقاطع نازک میکروسکوپی با استفاده از تقسیم‌بندی دانهام [۱۳] انجام گرفتند. شناسایی، رد-بندی و تفکیک ریز رخساره‌ها در محیط رسوبی با استفاده از مدل رخسارهای رمپ فلوگل [۱۴] انجام شد. پس از بررسی دقیق و کامل مقاطع نازک تعداد ۷ نمونه از سنگ‌های آهکی و ۳۱ نمونه دولومیتی برای بررسی آزمایش‌های عنصری انتخاب شدند. نمونه‌هایی نظیر میکریت با حداقل دگرسانی، سیمان دریایی اولیه، اینتراکلسیت یا الیت‌ها، و صدف‌های کلسیت کم منیزیم نظیر فرامینیفرهای سوزوئیک، بلمنیت‌های مزوزوئیک و برآکیوپودهای پالئوزوئیک برای نمونه‌برداری بسیار مناسب هستند. پودر این نمونه‌ها با متنه دندان پزشکی و حدالامکان از زمینه میکریتی و به دور از رگه‌ها، فسیل‌ها و آلومک‌های موجود در سنگ تهیه شده و سپس برای تعیین عناصر اصلی

۱. Red-S

و فرعی با دستگاه اسپکتروفوتومتری جذب اتمی<sup>۱</sup> در آزمایشگاه ژئوشیمی دانشکده علوم زمین دانشگاه شهید بهشتی آزمایش شده‌اند. مزیت‌های استفاده از دستگاه جذب اتمی این است که از یک محلول چند عنصر اندازه‌گیری می‌شود و حد قرائت آن کمتر از ۱۰ پی‌پی‌ام و برای بعضی عناصر در حد پی‌پی‌بی است. در حالی که یکی از محدودیت‌های استفاده از فلورسانس اشعه ایکس، حد قرائت است که تحت شرایط عادی حدود ۱۰۰ پی‌پی‌ام است. در قرائت مقدار Sr دولومیت‌ها که معمولاً مقدار آن کمتر از ۱۰۰ پی‌پی‌ام است باید از دستگاه جذب اتمی استفاده کرد.

روش کار به‌این ترتیب است که ۰/۲۵ gr از پودر نمونه را در محلول یک مول اسید کلریدریک قرار داده و پس از مدت زمان ۲ ساعت با دستگاه اسپکتروفوتومتر جذب اتمی، مقادیر عناصر اصلی (Ca, Mg) بر حسب درصد و عناصر فرعی (Fe, Mn, Na, Sr) بر حسب پی‌پی‌ام اندازه‌گیری شده‌اند. سپس رسوب تهشیش شده درون بالنهای حاوی محلول را خشک کرده، وزن آن را دقیقاً اندازه‌گیری می‌کنیم و این مقدار را از وزن اولیه نمونه کسر کرده تا مواد غیرقابل حل در اسید<sup>۲</sup> تعیین شود. این مقدار را به صورت درصد (%) IR بیان کرده‌ایم. نمونه‌های دارای بیش از ۱۰ درصد مواد غیرقابل حل در اسید حذف می‌شوند.

### الف) ریزرسارهای محیط رسوبی سازند دالان

پژوهش‌های میکروسکوپی منجر به شناسایی<sup>۴</sup> مجموعه رخسارهای با حروف اختصاری A, B, C, D شده است که این مجموعه‌های رخسارهای از نظر محیط رسوب‌گذاری به<sup>۴</sup> ۴ کمربند رخسارهای<sup>۳</sup> تعلق دارند به‌طوری که مجموعه رخسارهای A در محیط جزرومدمی<sup>۳</sup>، مجموعه رخسارهای B در محیط لagon<sup>۵</sup>، مجموعه رخسارهای C در محیط پشته کربناته<sup>۶</sup> و مجموعه رخسارهای D در محیط دریای باز<sup>۷</sup> برجای گذاشته شده‌اند. کمربندهای رخسارهای ذکر شده نشان دهنده پلاتفرم کربناته کم عمق از نوع رمپ هموکلینال هستند. در ادامه در جدول ۱ و شکل ۳ ریزرسارهای و کمربندهای رخسارهای شناسایی شده در سازند دالان در چاه شماره X در میدان گازی پارس جنوبی به‌همراه آلوکم‌های اصلی (اسکلتی و غیراسکلتی) و فرآیندهای دیاژنتیکی غالب آورده شده است.

#### ۱. مشخصات رسوب‌شناسی و محیط رسوب‌گذاری مجموعه رخساره A

ریزرسارهای دولومادستون با فابریک فنسترا، بایندستون استروماتولیتی با فابریک فنسترا، پلوفیدال اینتراکلسیت مادستون/وكستون، دولومادستون با بلورها و قالب‌های پراکنده اندیزیت، دولومادستون با ندول‌های اندیزیت و اندیزیت متبلور (لایه‌ای) در کمربند رخسارهای پهنه جزر و مدی تشکیل شده‌اند. جای‌گاه رسوبی پهنه جزر و مدی، جای‌گاهی است که تولید کربنات در آن به‌طور اساسی با فعالیت‌های زیستی شدید کنترل می‌شود. از ریزرسارهای متداول در چنین جای‌گاهی می‌توان نهشته‌های زیستی و بایندستون‌ها را نام برد [۱۵]. وجود فابریک فنسترا، همراهی با ریزرسارهای ترومبولیت و استروماتولیتی، دولومیت دانه‌ریز از شواهد ریزرسارهای بین جزر و مدی امروزی است [۱۶], [۱۷], [۱۴].

1. AAS

2. Insoluble Residue

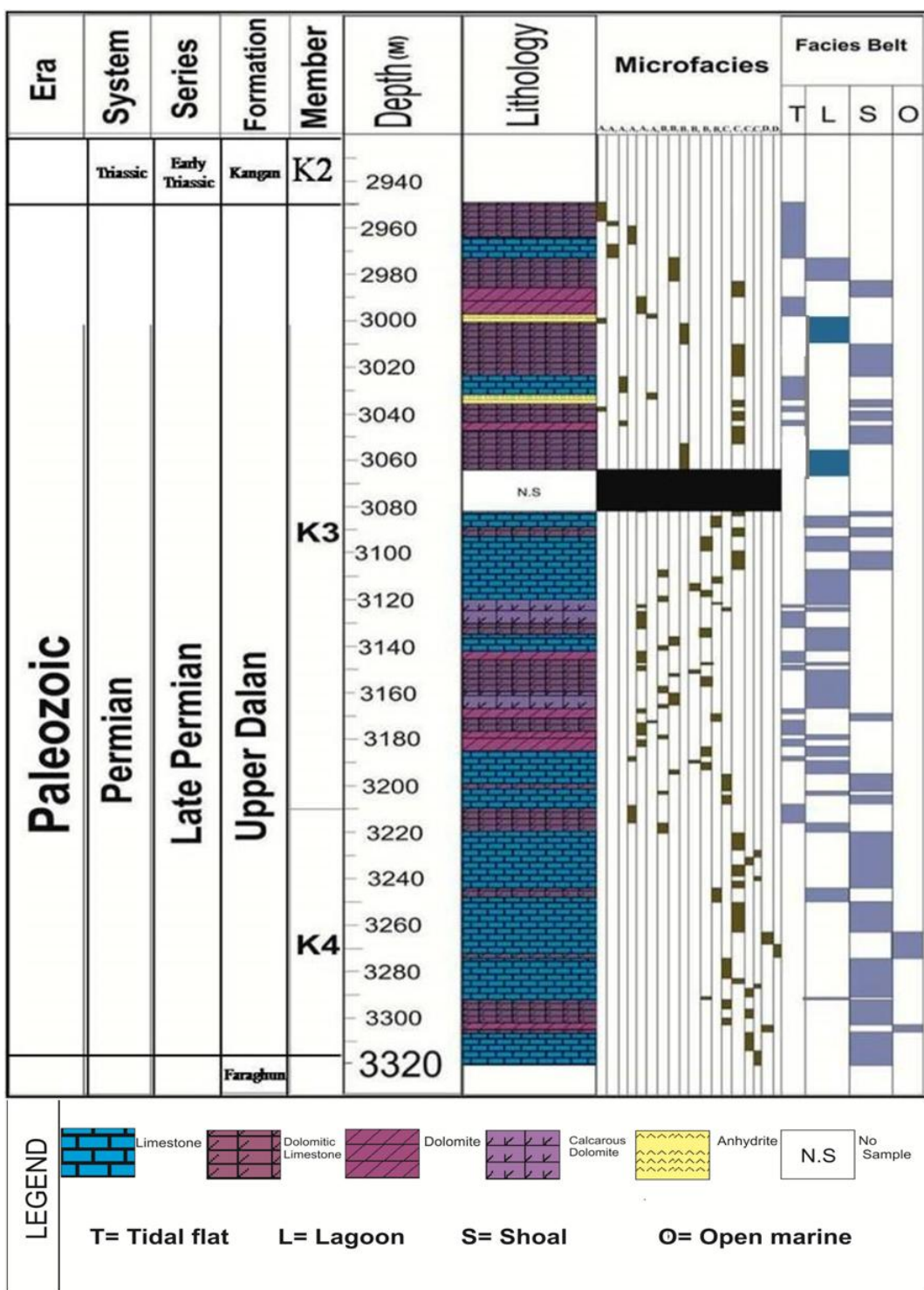
3. Facies Belt

4. Tidal Flat

5. Lagoon

6. Shoal

7. Open Marine



شکل ۲. توالی رسوی سازند دلان به همراه کمربندهای رخسارهای شناسایی شده در چاه شماره X. در این شکل، نحوه توزیع مجموعه‌های رخسارهای در توالی قائم نشان داده شده است

معمولًا در محیط‌های بالای جزر و مدی و در نزدیکی خشکی، مادستون‌هایی که گاه حاوی روزنها و حفراتی هستند، تشکیل می‌شود. این حفره‌ها معمولاً منشأ همزمان با رسوب‌گذاری یا کمی بعد از رسوبرگذاری دارند. این حفره‌ها یا در اثر خروج گاز دی‌اکسید کربن و یا انحلال ایجاد می‌شوند. حفره‌های مذکور می‌توانند در مرحله بعد به

شكل مکانیکی با رسوبات داخلی (میکریت یا پلت...) و یا به شکل شیمیایی با سیمان پر شوند. احتمالاً دولومیکرات‌های سازند دالان در کمربند رخساره‌ای پهنه جزر و مدي و طی یک مدل سبکایی تشکیل شده‌اند [۱۸]. بدین‌صورت که با افزایش تبخیر و تشکیل کانی‌های تبخیری میزان Ca در محیط کاهش یافته و در نتیجه میزان Mg/Ca محیط افزایش یافته است و دولومیکرات‌ها تشکیل شده‌اند [۱۹]. انرژی جزر و مدي و گاها شرایط طوفانی ناگهانی در این محیط باعث ایجاد اینتراکلست‌هایی با جورشدگی ضعیف شده است که پس از آن و در طی دیاژنز، فضاهای خالی بین اینتراکلست‌ها با سیمان انیدریتی ثانویه پر شده است. با توجه به فابریک و اندازه خیلی ریز بلورهای دولومیت، وجود بلورها و قالب‌های پراکنده انیدریتی، حفظ بافت رسوبی اولیه و عدم وجود فسیل، این نهشت‌های در شرایط سطحی و در محیط‌های سوپراتایdal تا قسمت بالایی اینترتايدال (قسمت بالایی بین حد جذرومود) تشکیل شده‌اند [۲۰، ۲۱] (شکل ۳ تا A<sub>6</sub>).

## ۲. مشخصات رسوب‌شناسی و محیط رسوب‌گذاری مجموعه رخساره B

ریز رخساره‌های مادستون بایوکلاست‌دار، مادستون/وکستون بایوکلاستی دارای آشفتگی زیستی، آنکوئید پکستون، گرینستون جلبکی، بایوکلاست پکستون، پلوئیدال وکستون/پکستون در کمربند رخساره‌ای لاغون تشکیل شده‌اند. در واقع لاغون منطقه‌ای گستردگی، با چرخش آب محدود و متغیر است که به‌وسیله بخش مرکزی پشته کربناته از امواج و جریان‌های دریایی محافظت می‌شود. حضور اجزا اسکلتی نظیر فرامینیفرهای بنتیک و جلبک در یک زمینه میکریتی، نشان‌دهنده انرژی کم محیط است. مقادیر فراوان فرامینیفرهای بنتیک به‌خصوص میلیولید و تکستولاریا و جلبک‌های سبز (داسی کلاداسه آ) در مجموعه رخساره B حاکی از شرایط محیطی کم عمق نظیر لاغون محافظت شده<sup>۱</sup> است. وجود آنکوئید و فرآیندهای میکریتی شدن اشاره به فعالیت‌های جلبکی و باکتریایی در این محیط کم انرژی و محدود شده جزر و مدي دارد [۲۲]. آشفتگی زیستی، وجود پلت‌های مدفوعی و پلوئید و ماتریکس میکریتی از مشخصه‌های محیط لاغون کم انرژی محدود شده و پایین کشندی است [۲۳] (شکل ۳ تا B<sub>6</sub>).

## ۳. مشخصات رسوب‌شناسی و محیط رسوب‌گذاری مجموعه رخساره C

ریز رخساره‌های پلوئید ائید گرینستون، ائید اینتراکلست گرینستون، اینتراکلست بایوکلاست گرینستون در کمربند رخساره‌ای پشته کربناته نهشت‌های شده‌اند. این کمربند رخساره‌ای دارای ائید زیاد است که نشان‌دهنده تودهای سد فعال و متحرک مربوط به آب‌های کم‌عمق است [۱۴]. گسترش ریز رخساره‌های پشته‌های کربناته یکی از عوامل نشان‌دهنده محیط رمپ است [۲۴]. ریز رخساره پلوئید ائید گرینستون بخش‌هایی از پشته کربناته را نشان می‌دهد که در نزدیکی لاغون قرار گرفته یا به عبارتی بخش رو به خشکی<sup>۲</sup> پشته کربناته هستند.

ریز رخساره‌های ائید گرینستون و ائید اینتراکلست گرینستون در بخش مرکزی و پرانرژی پشته کربناته<sup>۳</sup> تشکیل شده‌اند. ریز رخساره اینتراکلست بایوکلاست گرینستون در بخش رو به دریایی پشته کربناته<sup>۴</sup> و پرانرژی‌ترین بخش پشته کربناته نهشت‌های شده‌اند.

1. Protected Lagoon

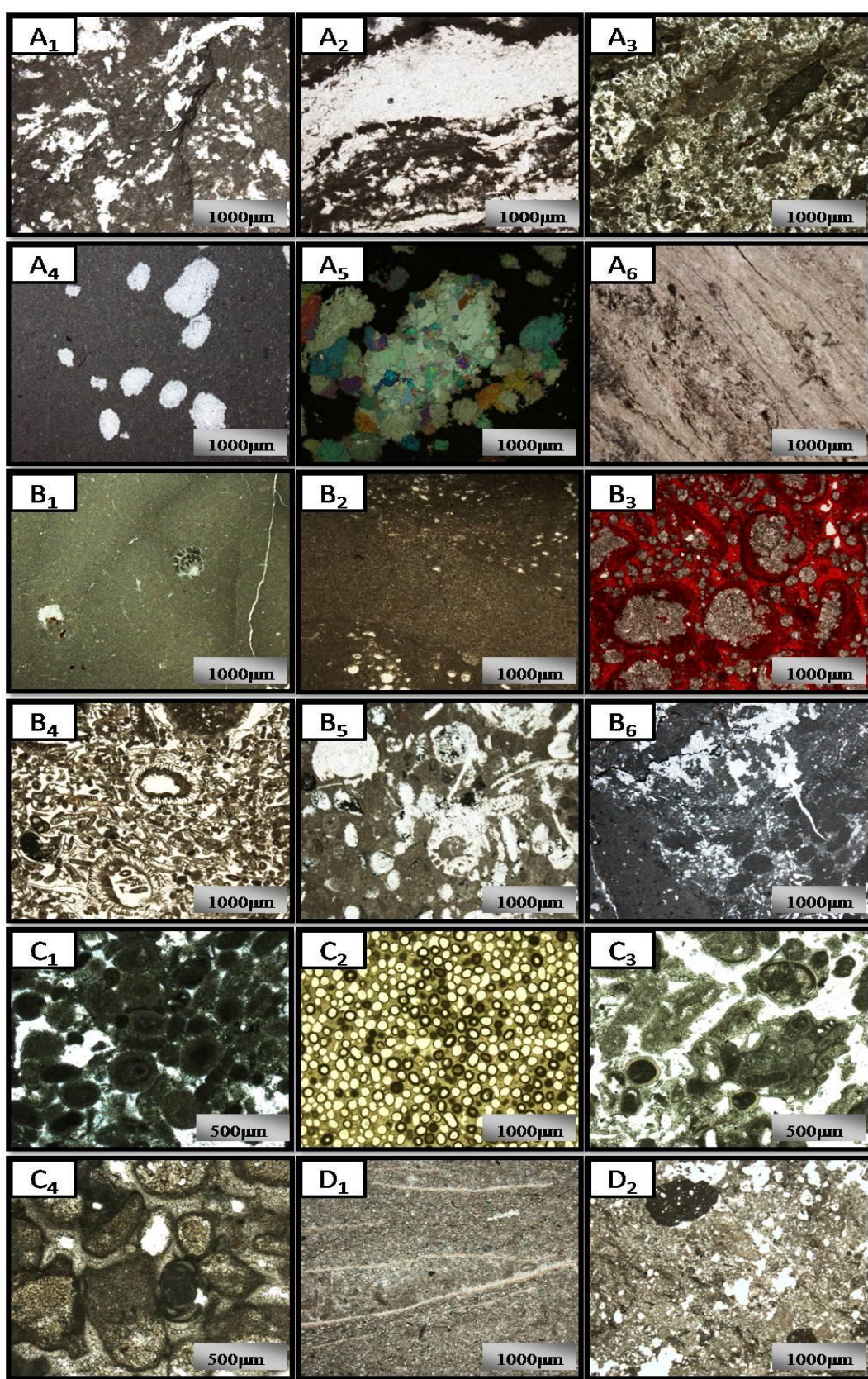
2. Leeward Shoal

3. Central Shoal

4. Seaward Shoal

**جدول ۱. ریز رخساره‌ها و کمربندهای رخساره‌ای شناسایی شده در سازند دالان در چاه شماره X در میدان گازی پارس جنوبی به همراه آلوکم‌های اصلی (اسکلتی و غیر اسکلتی) و فرآیندهای دیاژنتیکی غالب**

زیرمحیط شناسایی شده	عوارض دیاژنتیکی غالب	دانه‌ها		عنوان ریز رخساره	کد رخساره
		اجزاء غیر اسکلتی	اجزاء اسکلتی		
پهنه جزرومده	اکسید آهن، استیلولیت، انحلال، ایندریتی شدن و دولومیتی شدن	-	-	دولومادستون با فابریک فنسترال	A <sub>1</sub>
پهنه جزرومده	دولومیتی شدن، ایندریتی شدن، رگجه‌های انحلالی و آهن دارشدن	-	-	بایندستون استروماتولیتی با فابریک فنسترال	A <sub>2</sub>
پهنه جزرومده	دولومیتی شدن، میکریتی شدن، استیلولیت، رگجه‌های انحلالی و آهن دارشدن	اینترائلست و پلوئید	-	پلوئیدال اینترائلست مادستون/وکستون	A <sub>3</sub>
پهنه جزرومده	دولومیتی شدن، استیلولیت و شکستگی	-	-	دولومادستون با بلورها و قالب‌های پراکنده اندریت	A <sub>4</sub>
پهنه جزرومده	دولومیتی شدن، استیلولیت و رگجه‌های تبخیری	-	-	دولومادستون با ندول‌های اندریتی	A <sub>5</sub>
پهنه جزرومده	دولومیتی شدن	-	-	اندریت متابولر (لايهای)	A <sub>6</sub>
لاگون	انحلال، تراکم، استیلولیت، شکستگی، دولومیتی شدن و آهن دارشدن	-	قطعات فرامینیفر (میلیولید، تکستولا ریا) و دوکفهای	مادستون با یوکلاستدار	B <sub>1</sub>
لاگون	انحلال، شکستگی، دولومیتی شدن، سیمانی شدن، انحلال، ایندریتی شدن، تراکم، آهن دارشدن و استیلولیت	پلوئید و الید	فرامینیفرهای بنتیک (میلیولید)، گاستروپوها و قطعات دوکفهای و جلبکی	مادستون/وکستون با یوکلاستی دارای اشفتگی زیستی	B <sub>2</sub>
لاگون	دولومیتی شدن، انحلال، تراکم و میکریتی شدن	انکوئید و الید	فرامینیفرهای بنتیک	انکوئید پکستون	B <sub>3</sub>
لاگون	استیلولیت، میکریتی شدن، دولومیتی شدن، اندریتی شدن و انحلال	-	جلبک سبز فراوان (داسی کلاداسه)، فرامینیفرهای بنتیک	گرینستون جلبکی	B <sub>4</sub>
لاگون	دولومیتی شدن، میکریتی شدن، ایندریتی شدن، استیلولیت، انحلال و پیریتی شدن	-	جلبک سبز (داسی کلاداسه، پرموکالکالوس)، فرامینیفرهای بنتیک، گاستروپود و دوکفهای	با یوکلاست پکستون	B <sub>5</sub>
لاگون	دولومیتی شدن، ایندریتی شدن، انحلال، تشکیل استیلولیت، شکستگی و آهن دارشدن فراوان	پلت‌های مدفعی و پلوئیدها فراوان	خارپوست، گاستروپوها، قطعات جلبکی و دوکفهای	پلوئیدال وکستون - پکستون	B <sub>6</sub>
پشه کربناته	انحلال، دولومیتی شدن، استیلولیت، سیمانی شدن، میکریتی شدن، انحلال و ایندریتی شدن	الید و پلوئید	دوکفهای و فرامینیفرهای میکریتی شده	پلوئید الید گرینستون	C <sub>1</sub>
پشه کربناته	انحلال، استیلولیت، تراکم فیزیکی، نومورفیسم، سیمانی شدن، دولومیتی شدن، ایندریتی شدن و میکریتی شدن	الید فراوان	قطعات دوکفهای، خارپوست، گاستروپود و عدمتا فرامینیفرهای کوچک	الید گرینستون	C <sub>2</sub>
پشه کربناته	دولومیتی شدن، انحلال، ایندریتی شدن، نومورفیسم سیمانی شدن، پیریتی شدن، استیلولیت، شکستگی	الید و اینترائلست	دوکفهای، خارپوست و فرامینیفرهای بنتیک	الید اینترائلست گرینستون	C <sub>3</sub>
پشه کربناته	میکریتی شدن، دولومیتی شدن، انحلال، تراکم و شکستگی آلوکم‌ها، سیمانی شدن و تشکیل رگجه- های انحلالی، نومورفیسم و استیلولیت	اینترائلست فراوان و الید	فرامینیفرهای بنتیک و قطعات جلبکی، کربنیتید، بریزوژوژ و قطعات دوکفهای	اینترائلست با یوکلاست گرینستون	C <sub>4</sub>
دریای باز	استیلولیت، میکریتی شدن، شکستگی، تشکیل رگجه‌های انحلالی و انحلال	-	قطعات برآکبیوپد، دوکفهای پلازیک، فرامینیفر و بریزوژوژ	با یوکلاست وکستون/پکستون	D <sub>1</sub>
دریای باز	شکستگی، استیلولیت، انحلال و میکریتی شدن	اینترائلستهای میکریتی شده	دوکفهای پلازیک و برآکبیوپد	با یوکلاست پکستون همراه با اینترائلست های میکریتی	D <sub>2</sub>



شکل ۳. تصاویر میکروسکوپی از ریزخسardeهای شناسایی شده در سازند دالان در چاه شماره X

به علت وجود نداشتن سدهای محافظت کننده در برابر امواج دریایی مختلف (جريان‌های جزر و مدی، طوفانی و دریایی) بیشترین میزان انرژی در محیط رسوبی حاکم است از این رو، پرانرژی‌ترین ریز رخسارهای ریز رخسارهای گرینستونی با یوکلاستی اینترالکلستی دانه درشت تشکیل می‌شوند. با توجه به ارتباط مستقیم اندازه دانه و انرژی محیط می‌توان نتیجه گرفت که این رخساره در محیط پر انرژی تشکیل شده است [۶۶]. در این قسمت‌ها به علت انرژی زیاد محیط، میکریت شسته شده و سیمان جای‌گزین آن شده است. زیرا حضور ائید و سیمان اسپاری مؤبد محیطی پرانرژی است. اندازه ذرات از سمت رو به دریای باز پشت‌های کربناته به طرف رو به خشکی پشت‌های کربناته کاهش می‌یابد که علت آن کاهش انرژی محیط است [۱۴]، [۲۳] (شکل ۳ C<sub>1</sub> تا C<sub>4</sub>).

#### ۴. مشخصات رسوب شناسی و محیط رسوب‌گذاری مجموعه رخساره D

ریز رخسارهای با یوکلاست و کستون/پکستون و با یوکلاست پکستون همراه با اینترالکلست‌های میکریتی در بخش عمیق‌تر دریا و قسمت‌های زیر پشت‌های کربناته تشکیل شده‌اند. اجزای با یوکلاستی تشکیل‌دهنده این رخسارهای عمده این قطعات دوکفه‌ای پلاژیک، برآکیوپود و به مقدار کمتر کربنیتید، فرامینیفر و بریوزوئر است. با توجه به وجود مقادیر زیاد گل در بین ذرات، وجود موجودات استنتوهالین همانند خارپوست و بریوزوئر می‌توان محیطی با انرژی کم و میزان رسوب‌گذاری آرام برای تهنشست این ریز رخساره در نظر گرفت که مناسب با محیط دریای باز است [۲۵] (شکل ۳ D<sub>1</sub> و D<sub>2</sub>).

#### ۵. مدل رسوبی سازند دالان

بر اساس پژوهش‌های قبلی [۲۶]، رمپ‌های کربناته اغلب در زون‌های فاقد موجودات ریف ساز گسترش یافته‌اند [۲۷]. زیرا این موجودات علاوه بر تولید رسوب، اثر سدی بر انرژی محیط دارند و بنابراین ریخت‌شناسی و هیدرودینامیک حاکم بر محیط را تحت تأثیر قرار می‌دهند. انقراض دسته جمعی موجودات [۲۷] شرایط را برای گسترش رمپ‌ها مساعدتر کرده است. توالی تریاس زیرین همراه با انقراض عظیم موجودات در انتهای پرمین، یکی از دوره‌های گسترش رمپ‌های کربناته به علت نقش کم اهمیت موجودات ریفساز است [۲۸]. بنابراین نبود موجودات ریف ساز منجر به تشکیل نشدن سد و در نتیجه رمپ‌های کربناته توسعه یافته است. دلایل شناسایی شده زیر در سازند دالان را می‌توان برای معرفی رمپ کربناته ارائه داد:

۱. تولید بالای ائید از ویژگی‌های اصلی رمپ‌های کربناته تحت تأثیر شرایط پر انرژی است.
  ۲. تغییرات تدریجی ریز رخسارهای کم‌عمق به انواع عمیق انعکاسی از پیوستگی و ارتباط ریز رخسارهای به هم و ریخت‌شناسی حوضه در حین رسوب‌گذاری است که با رمپ‌ها هم‌خوانی بیشتری دارد.
  ۳. بازسازی گسترش جانی حوضه گذر رسوبات پیرامون جزر و مدی از یک محیط کم‌عمق تحت کشندی به سدی پرانرژی و سپس رخسارهای عمیق‌تر را نشان می‌دهد که برای سیستم‌های رمپ توصیف شده است [۳۰]، [۲۹].
  ۴. تنوع ریز رخسارهای کم، فراوانی بالای رخسارهای کم‌عمق و بهویژه وسعت زیاد سبخا، عدم وجود ذرات آواری مشخصه سیستم‌های رمپ هم‌شیب در یک اقلیم خشک و نیمه خشک است [۲۲]، [۱۴].
- بررسی رخسارهای میکروسکوپی و مقایسه با ریز رخسارهای استاندارد فلوگل [۱۴] و با توجه به وجود نداشتن ریف‌های بزرگ سدی و نهشته‌های توربیدیاتی، گسترش نسبی پهنه‌های جزو مردمی همراه با ریز رخسارهای سدی

ائیدی و تغییر تدریجی ریزرخساره‌ها به یکدیگر، محیط رسوبی سازند دالان یک پلاتفرم کربناته از نوع رمپ همشیب است [۱۶]. این نوع رمپ دارای شیب نسبتاً ملایم و یکنواختی است که از خط ساحلی تا حوضه کشیده شده است و مشابه با رمپ‌های کربناته عهد حاضر نظیر سواحل جنوبی خلیج فارس، باهاما و شارک بی استرالیا است. به طور کلی رمپ کربناته سازند دالان در ناحیه پارس جنوبی از سه قسمت اصلی تشکیل شده است که شامل ۱. رمپ داخلی<sup>۱</sup> با کمربندهای رخساره‌ای پهنه جزو مردمی و لاغون محدود شده. ۲. رمپ میانی<sup>۲</sup> با کمربندهای رخساره‌ای پشتی کربناته زیرآبی ائیدی و اینتراکلسی که حد فاصل لاغون و دریای باز است. ۳. رمپ خارجی<sup>۳</sup> که در دورترین بخش پلاتفرم به سمت دریای باز قرار داشته و با کمربند رخساره‌ای دریای باز مشخص می‌شود. شکل ۴ پراکندگی ریزرخساره‌ها در طول رمپ کربناته را نشان می‌دهد.

### ب) شواهد پتروگرافی برای شناسایی ترکیب کانی‌شناسی اولیه

شواهد پتروگرافیکی نظری وجود سیمان سوزنی یا فیبری هم ضخامت<sup>۴</sup>، پوشش میکریتی له شده و تغییرشکل یافته<sup>۵</sup>، اسپالد ائید<sup>۶</sup>، لامینه‌های میهم در ائیدها<sup>۷</sup>، وجود تخلخل قالبی ائید<sup>۸</sup> و حضور میانبارهای Sr در زمینه میکریتی<sup>۹</sup> مؤید ترکیب کانی‌شناسی اولیه آراغونیتی در مقاطع نازک است [۳۱]. براساس شواهد پتروگرافی ذکر شده و طبق پژوهش‌های پتروگرافی نمونه‌های رسوبی بررسی در سازند دالان با توجه به وجود تخلخل قالبی زیاد، فراوانی بالای دوکفه‌ها، دولومیتی شدن انتخابی، وجود اسپالد ائید، وجود سیمان ایزوپک دریابی و انحلال گسترده، کانی‌شناسی اولیه این سازند آراغونیتی تعیین شده است.

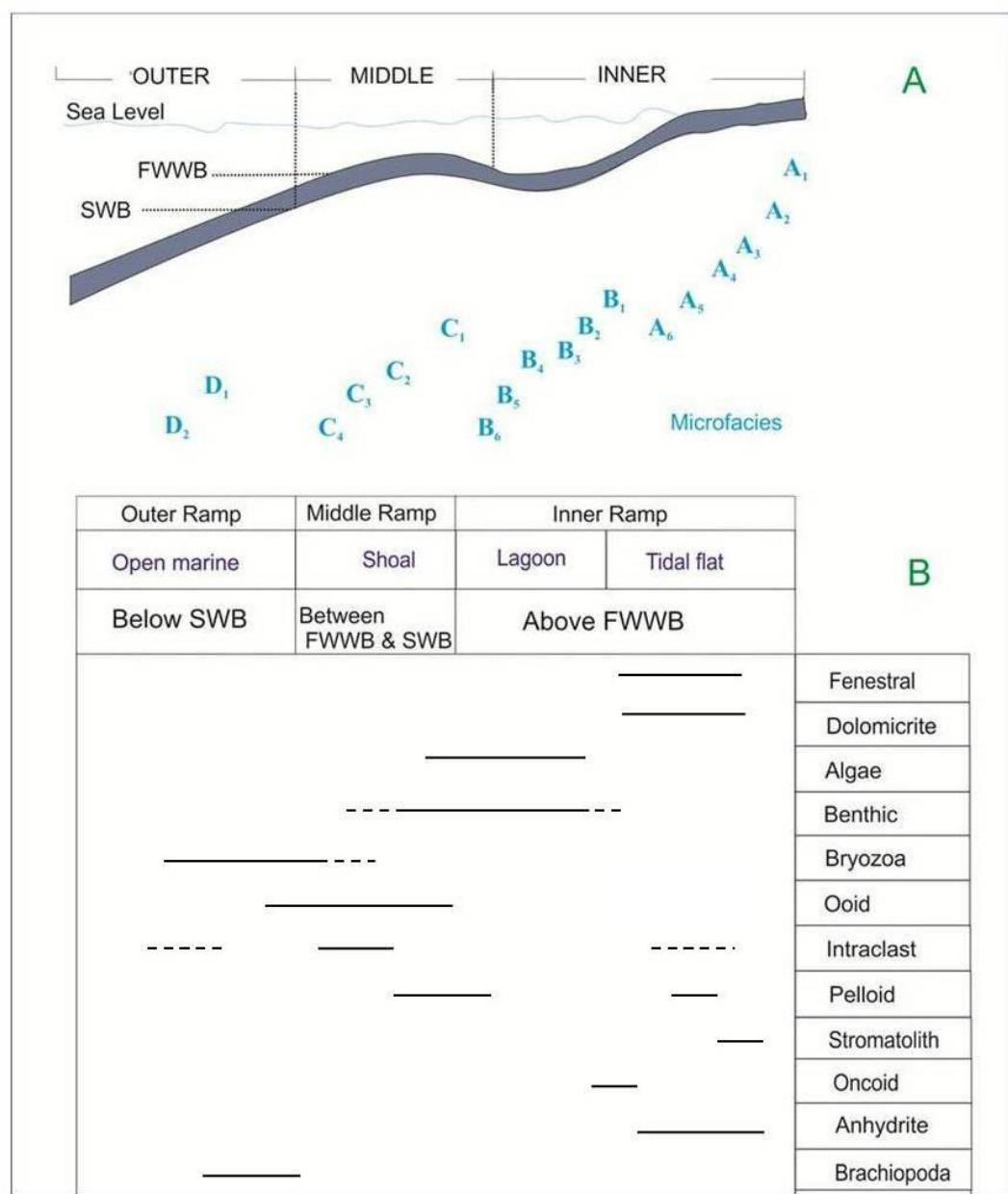
#### ۱. اسپالد ائید

گاهی لایه خارجی ائیدها از سایر لایه‌ها جدا می‌شود که در این حالت به آن اسپالد ائید می‌گویند که نشان‌دهنده ترکیب کانی‌شناسی اولیه آراغونیتی ائیدها است. این حالت در سیستم‌های دیاژنتیکی بسته تا نیمه بسته ایجاد می‌شود [۳۱]. پدیده اسپالد ایید در برخی از ائیدهای سازند دالان دلیلی بر تأیید کانی‌شناسی اولیه آراغونیتی این سازند است (شکل ۵ A).

#### ۲. دولومیتی شدن انتخابی

اگر دولومیتی شدن به صورت انتخابی در برخی از اجزا سنگ رخ دهد، به آن دولومیتی شدن انتخابی<sup>۱۰</sup> می‌گویند که مشخصه جانشینی دولومیت به جای آراغونیت یا کلسیت پرمیزیم است [۳۲]. دولومیتی شدن بعضی از ائیدها می‌تواند در رابطه با ترکیب کانی‌شناسی احتمالی آراغونیتی باشد، زیرا ترکیبات آراغونیتی همانند کاتالیزور عمل می‌کنند و فرآیند دولومیتی شدن را تسريع می‌کنند [۳۳]، [۲۱]، [۱۸] (شکل ۵ B). دولومیتی شدن غالب‌ترین فرآیند دیاژنتیکی در سازند دالان است [۳۴].

- 
1. Inner Ramp
  2. Middle Ramp
  3. Outer Ramp
  4. Fibrous to Acicular isopachous cement
  5. Shattered micritic envelope
  6. Spalled Ooid
  7. Diffused laminae
  8. Oomold
  9. Sr inclusion in micrite
  10. Fabric Selective



شکل ۴. پراکندگی ریز رخساره‌ها در رمپ کربناته (A) و پراکندگی اجزا کربناتی تشکیل دهنده سازند دلان مربوط به کمر پندهای رخساره‌ای مختلف (B)

### ۳. فراوانی بالای دوکفه‌ای‌ها

دوکفه‌ای‌ها موجوداتی مربوط به شاخه نرم‌تنان هستند که صدف اکثر آن‌ها از آراگونیت تشکیل شده است (شکل C). برخی نیز دارای کانی‌شناسی مخلوطی از کلسیت و آراگونیت هستند. در مواقعی که صدف آراگونیتی است، ساختمان داخلی در طی زمان‌های طولانی حفظ نمی‌شود و در طی دیاژنز با اسپاریت درشت دروزی پر می‌شود. دوکفه‌ای‌های موجود در این سازند دیاژنز شدیدی را متحمل شده‌اند، بنابراین می‌توان گفت که دارای ترکیب کانی‌شناسی اولیه آراگونیتی بوده‌اند. دوکفه‌ای‌ها تقریباً در تمام محیط‌های آبی شامل آب شیرین، نیمه‌شور و شور

محیط‌های ساحلی تا آب‌های عمیق دریابی یافت می‌شوند اما بیشترین فراوانی در محیط‌های دریابی کم عمق هستند. با افزایش عمق، صد آن‌ها نازک‌تر می‌شود که به آن‌ها دوکفه‌ای‌های پلاژیک گفته می‌شود [۱۴].

#### ۴. سیمان فیبری هم ضخامت

این سیمان متشکل از آراغونیت (به‌طور تیپیک) با ضخامت ۱۰ تا ۲۰ میکرون است و از بلورهای کشیده که عمود بر سطح دانه‌ها قرار گرفته‌اند تشکیل شده است. هیچ سیمان کلسیتی با فابریک سوزنی در طبیعت وجود ندارد مگر اینکه آراغونیتی بوده است و بعد به صورت مینیاتوری، ذره به ذره کلسیت به جای آراغونیت نشسته و این فابریک حفظ شده است [۳۱]. زمانی که تبادل آب به سنگ کم بوده<sup>۱</sup> است و سیستم دیاژنتیکی بسته تا نیمه‌بسته است، تحت این شرایط سیمان فیبری می‌تواند حفظ شود [۳۱]. در اغلب لایه‌های سازند دالان، طی فرآیند دیاژنز به‌دلیل پایداری کم آراغونیت به کلسیت کم‌منیزیم یا دولومیت تبدیل شده است. این سیمان در بسیاری موارد از نوع حاشیه‌ای هم‌ضخامت است یعنی بلورهای آراغونیت ضخامت یکسانی در اطراف دانه دارند که از نشانه‌های محیط فراتیک دریابی است [۳۵] [۱۴] (شکل ۵ D). سیمان ایزوپک بهترین انتخاب برای ژئوشیمی اقیانوس‌های قدیمی است زیرا در طول ته‌نشست آن اثرات متابولیک وجود ندارد [۳۶].

#### ۵. انحلال گستردده و تخلخل قالبی

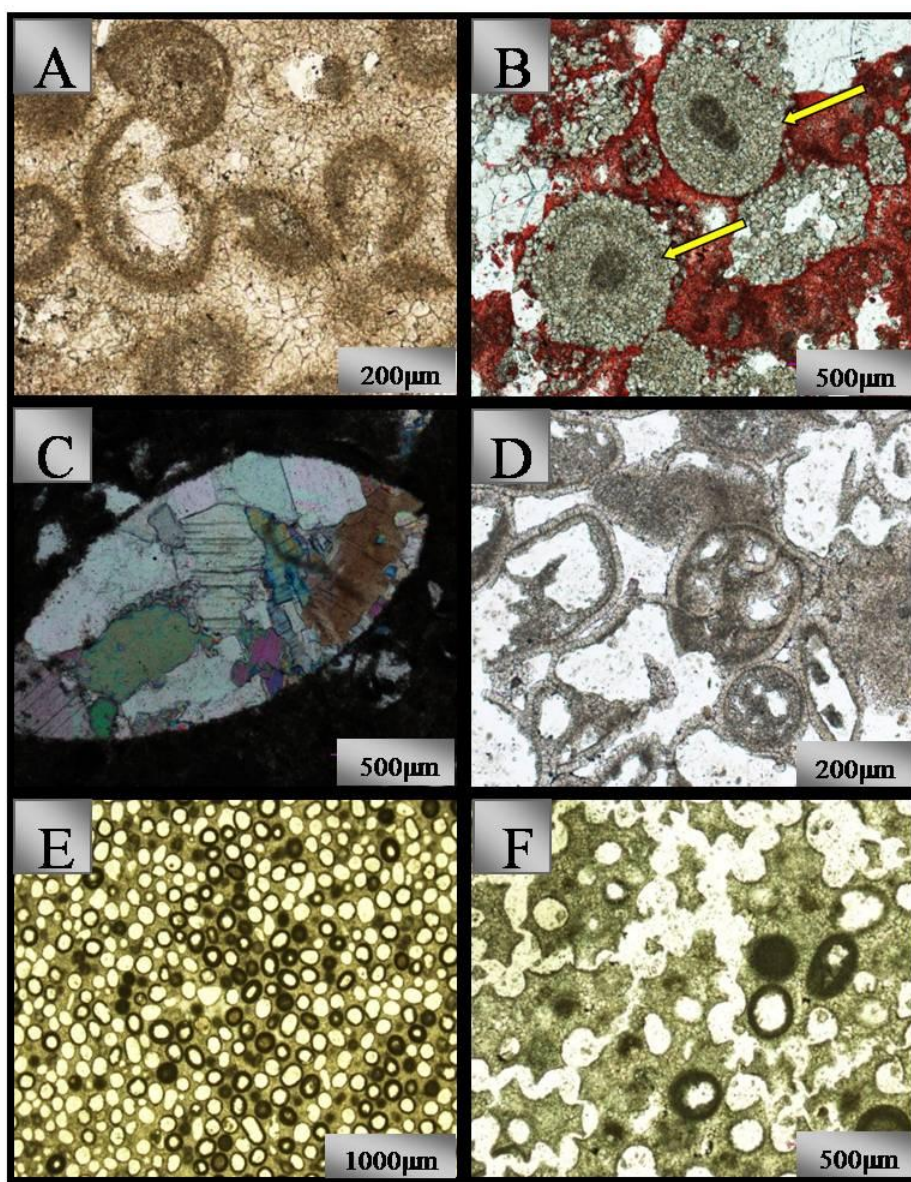
مشاهدهای زمین‌شناسی حاکی از این است که دانه‌های آراغونیتی زودتر از کلسیت کم‌منیزیم و کلسیت پرمیزیم حل می‌شوند و میزان انحلال کلسیت با افزایش محتوی منیزیم بیشتر می‌شود به‌طوری که وقتی مقدار منیزیم به ۱۲/۵٪ مول بر سد میزان انحلال کلسیت با آراغونیت برابر می‌کند [۱۶]. انحلال یکی از مهم‌ترین فرآیندهای دیاژنتیکی مؤثر بر سازند دالان است که سبب تشكیل تخلخل‌های قالبی به‌ویژه در اثیدها (شکل ۵ E) و انحلال در امتداد استیلویلت‌ها (شکل ۵ F) شده است.

تخلخل‌های قالبی معمولاً در سیستم دیاژنتیکی باز با تبادل آب به سنگ بیشتر صورت می‌گیرد. این بررسی‌ها نشان می‌دهد که فرآیندهای دیاژنتیکی در سازند دالان تحت دو سیستم متفاوت دیاژنتیکی و تبادل آب به سنگ متغیر صورت گرفته است، از این‌رو، زمان تأثیر سیستم‌های دیاژنتیکی کاملاً متفاوت بوده است (یعنی حفظ سیمان سوزنی یا فیبری هم ضخامت و ایجاد تخلخل قالبی).

#### ج) شواهد ژئوشیمیابی برای شناسایی ترکیب کانی‌شناسی اولیه

##### ۱. بررسی‌های ژئوشیمیابی آهک‌ها

شناسایی ترکیب کانی‌شناسی اولیه کربنات‌ها به‌دلیل تأثیر فرآیندهای دیاژنتیکی صرفاً براساس پژوهش‌های پتروگرافی امری بسیار مشکل است زیرا به مرور زمان آراغونیت (Ar) و کلسیت پرمیزیم (HMC) به کلسیت کم‌منیزیم (LMC) تبدیل شده و باعث تغییر بافت و ترکیب اولیه سنگ می‌شوند. استفاده از روش‌های ژئوشیمیابی نظیر تجزیه‌های عنصری (Na, Sr, Fe, Mn, Ca, Mg) کمک به شناسایی ترکیب کانی‌شناسی اولیه کربنات‌ها می‌کند [۱۱]. کلسیت کم‌منیزیم عمدتاً پایدار باقی‌مانده و منحصرأ در سیستم‌های دیاژنز باز دست‌خوش تغییرات شیمیابی جزئی می‌شود.



شکل ۵(A). اسپالد الئید. کمربند رخسارهای پشتہ کربناته (نور معمولی)، (B) ذرات الئیدی در یک رخساره گرینستون الئیدی به طور انتخابی دولومیتی شده‌اند. کمربند رخسارهای پشتہ کربناته (نور معمولی)، (C) تصویری از دوکفه‌ای بنتیک با پوسته ضخیم که کاملاً انحلال یافته و سپس به طور کامل با آنیدریت پر شده است. کمربند رخسارهای لاغون (نور پلاریزه)، (D) سیمان فیبری هم‌ضخامت در اطراف الئیدها و قطعات اینتراکلسیستی در رخساره الئیداینتراکلسیست گرینستون که آلومک‌ها دچار انحلال تأخیری شده‌اند ولی سیمان فیبری به دلیل ترکیب کانیوزی پایدار (تبديل آرآگونیت به کلسیت) در انحلال آلومک‌ها، دچار انحلال نشده است بنابراین فرآیندهایی چون انحلال و دولومیتی شدن تأثیری بر سیمان فیبری هم‌ضخامت ندارند، این موضوع نشان‌دهنده بسته بودن سیستم دیاژنتیکی است. کمربند رخسارهای پشتہ کربناته (نور معمولی)، (E) انحلال ذرات الئیدی در رخساره گرینستون الئیدی سبب ایجاد تخلخل قالبی الئیدی (Oomold) شده است. در مواردی که تخلخل‌های قالبی مجزا باشند فقط تخلخل ظاهری سنگ افزایش می‌یابد. میکروریتی شدن برخی از الئیدها مانع از انحلال و ایجاد تخلخل قالبی شده است. کمربند رخسارهای پشتہ کربناته (نور معمولی)، (F) انحلال ذرات الئیدی باعث تشکیل تخلخل‌های قالبی در رخساره الئید گرینستون شده است که این حفرات با فرآیندهایی مانند استیلولیت بهم مرتبط شده و سبب افزایش تراوایی و کیفیت مخزنی شده‌اند. کمربند رخسارهای پشتہ کربناته (نور معمولی)

مقدادیر عناصر اصلی و فرعی نمونه‌های کربناته بررسی شده در جدول ۲ ارائه شده است.  
**جدول ۲. تغییرات عناصر اصلی و فرعی بهمراه مقدادیر حداکثر، حداقل و میانگین در نمونه‌های آهکی سازند دالان در چه شماره X**

No.	Formation	Depth (m)	Mg (%)	Ca (%)	Sr (ppm)	Na (ppm)	Fe (ppm)	Mn (ppm)
۱	Dalan	۳۰.۶۳	۳.۶۳	۳۷.۸۳	۳۶۸	۲۲۷۸	۲۰.۵	۱۲
۲	Dalan	۲۹۷۴	۰.۷۷	۳۹.۷۰	۱۰۴۸	۶۴۸	۷۰.۵	۲۶
۳	Dalan	۳۲۸۶	۴.۰۴	-	۴۴۸	۱۶۸۸	۱۱۴	۱۰
۴	Dalan	۲۹۶۷	۱.۲۱	-	۲۴۰.۸	۶۹۱	-	۲۲
۵	Dalan	۳۲۳۰	۳.۰۷	۳۷.۹۳	۱۴۴۸	۲۳۵۳	۱۰.۵	۶
۶	Dalan	۳۲۲۴	۱.۰۲	۳۷.۲۷	-	۲۴۵۰	۱۳۰	۶
۷	Dalan	۳۲۴۸	۴.۳۰	۳۳.۰۵	۴۰.۸	۲۹۱۴	۶۹	۶
۸	Dalan	۳۲۷۱	۰.۷۲	۳۵.۴۴	۵۲۸	۱۰۳۷	۸۰	۴

	Formation	Mg (%)	Ca (%)	Sr (ppm)	Na (ppm)	Fe (ppm)	Mn (ppm)
<b>Max</b>	Dalan	۴.۳۰	۳۹.۷۰	۲۴۰.۸	۳۴۵۰	۷۰.۵	۲۶
<b>Min</b>	Dalan	۰.۷۲	۳۳.۰۵	۳۶۸	۶۴۸	۶۹	۴
<b>Mean</b>	Dalan	۲.۵۱	۳۶.۳۷۵	۱۳۸۸	۲۰۴۹	۳۸۷	۱۵

### ۱-۱. استرانسیوم (Sr)

میزان Sr نمونه‌های کل کربناته<sup>۱</sup> مناطق حاره‌ای عهد حاضر بین ۸۰۰۰ تا ۱۰۰۰ پی‌پی‌ام در تغییر است [۳۷]. این مقدار در نمونه‌های کل کربناته مناطق معتدل بین ۱۶۴۲ تا ۵۰۰۷ پی‌پی‌ام (به طور متوسط ۳۲۷۰ پی‌پی‌ام) است [۳۸]. مقدار Sr در آراغونیت بیشتر از کلسیت است زیرا کاتیون‌هایی که بزرگ‌تر از Ca هستند (نظیر Na، Sr)، ترجیحاً در شبکه ساختمانی باز اوزترومبیک آراغونیت جای می‌گیرند [۴۰]، [۴۱]. بنابراین مقدار Sr با افزایش میزان آراغونیت و کاهش عمق آب افزایش میزان کلسیت کاهش می‌باید [۳۸]. حداکثر مقدار Sr که می‌تواند در شبکه کلسیت غیربیوتیک وارد شود معمولاً ۱۰۰۰ پی‌پی‌ام است [۴۰]. وجود مقدادیر بیش از این مقدار در شبکه کلسیت نشان‌دهنده تأثیر کم فرآیندهای دیاژنتیکی و به ارت رسیدن مقداری از این استرانسیوم از کانی اولیه آراغونیتی به کلسیت است. به طور کلی کانی‌شناسی اولیه می‌تواند به عنوان یک فاکتور کنترل کننده Sr و Mn در رسوبات باشد به طوری که در آراغونیت معمولاً میزان Sr زیاد و میزان Mn اندک است [۴۲].

ارزیابی نتایج حاصل از بررسی‌های آهک‌های سازند دالان بیان گر آن است که مقدادیر Sr بین ۳۶۸ تا ۲۴۰۸ پی‌پی‌ام (میانگین ۱۳۸۸ پی‌پی‌ام) در تغییر است. میزان زیاد استرانسیوم در این کربنات‌ها می‌تواند به دلیل ترکیب کانی‌شناسی اولیه آراغونیتی این کربنات‌ها باشد.

### ۲-۱. سدیم (Na)

آراغونیت غیربیوتیک دارای سدیم بیشتری (حدود ۲۷۰۰ پی‌پی‌ام) نسبت به کلسیت غیربیوتیک (حدود ۲۷۰ پی‌پی‌ام) است [۱]، [۴۰]. مقدادیر Na در سنگ آهک‌های آراغونیتی غیربیوتیک حاره‌ای عهد حاضر بین ۱۵۰۰ تا ۲۷۰۰ پی‌پی‌ام (میانگین ۲۵۰۰ پی‌پی‌ام) در تغییر است، در حالی که در کلسیت‌های کمنیزیم غیر بیوتیک نواحی معتدل تمرکز

1. Bulk carbonate

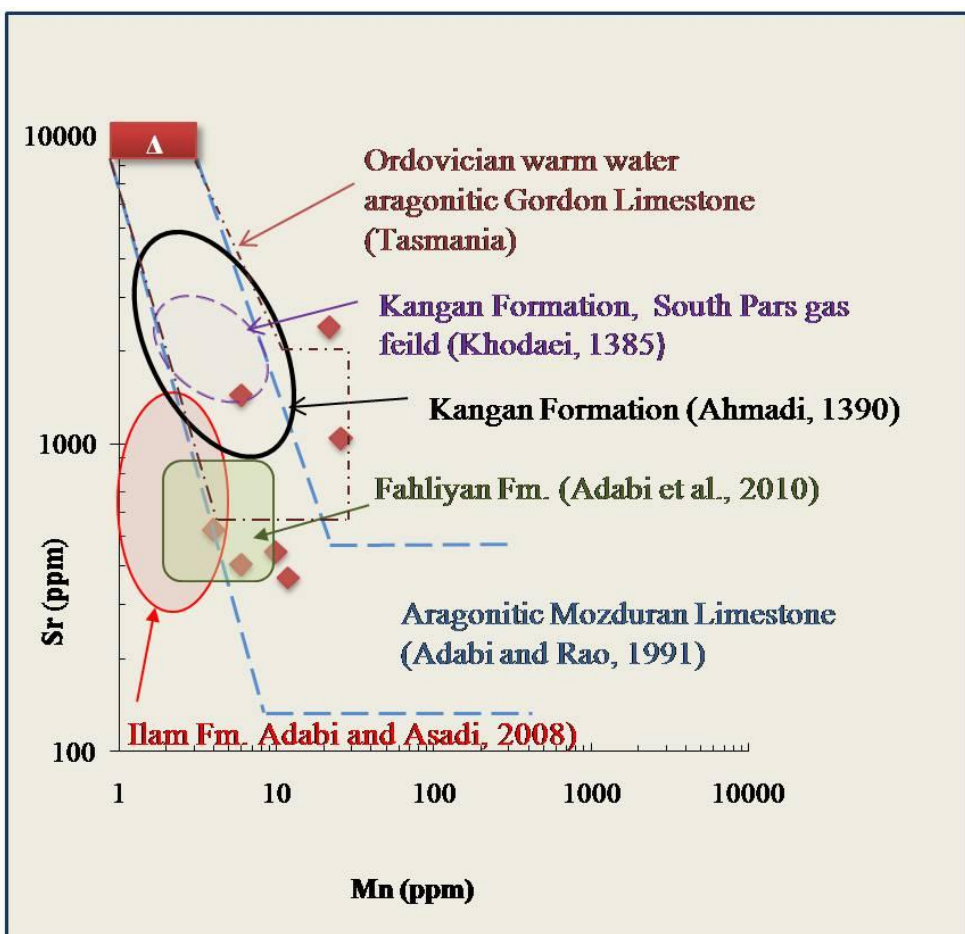
Na حدود ۲۷۰ پی‌پی‌ام است [۴۳]، [۳۷]، [۳۸]. تمرکز Na در رسوبات کربناته به درجه شوری، تغیریق بیولوژیکی، اثرات جنبشی، ترکیب کانی‌شناسی و عمق آب بستگی دارد [۴۱]، [۳۸]. مقدار Na با افزایش درصد آرگونیت، شوری و عمق آب افزایش می‌یابد. Na ضریب توزیع<sup>۱</sup> کمتر از یک دارد و در آبهای متئوریکی دارای تمرکز کمی است از این رو، در سنگ‌های کربناته‌ای که تحت تأثیر فرآیندهای دیاژنر متئوریکی قرار می‌گیرند مقادیر سدیم اندک است [۱]. مقادیر Na در نمونه‌های آهکی سازند دلالان بین ۳۴۵۰ پی‌پی‌ام (میانگین ۲۰۴۹ پی‌پی‌ام) است. میزان زیاد Na در کربناتهای سازند دلالان به زیاد بودن شوری محیط قدیمه و کانی‌شناسی اولیه آرگونیتی نسبت داده می‌شود.

#### ۳-۱. منگنز (Mn)

مقادیر Mn در سنگ‌های آهکی سازند دلالان بین ۴ تا ۲۶ پی‌پی‌ام (میانگین ۱۵ پی‌پی‌ام) در تغییر است. کربناتهای آرگونیتی واقع در دریاهای گرم و کم‌عمق دارای Mn اندکی (کمتر از ۲۰ پی‌پی‌ام) هستند، در حالی که مقدار Mn در نمونه‌های کل کربناته مناطق معتدله عهد حاضر بیشتر از ۳۰۰ پی‌پی‌ام است [۳۸]. مقادیر منگنز با افزایش تأثیر دیاژنر متئوریکی افزایش می‌یابد [۴۴]، [۴۵]، زیرا ضریب توزیع Mn حدود ۱۵ است و در آبهای متئوریکی تمرکز بسیار زیادی دارد [۴۶]. بنابراین فراوانی بالای Mn را در نمونه‌های کربناته می‌توان به دیاژنر متئوریکی نسبت داد. افزایش سرعت رسوب‌گذاری [۴۷]، [۴۸]، شرایط اکسیدان [۴۶]، عدم دیاژنر متئوریکی و وجود ترکیب کانی‌شناسی آرگونیتی [۳۱]، [۴۲] موجب کاهش Mn می‌شود. دامنه کم تغییرات Mn می‌تواند حاکی از کانی‌شناسی اولیه آرگونیتی باشد [۱]. در شکل ۶ مقادیر Mn در برابر مقادیر Sr ترسیم شده است. و در شکل ۷ مقادیر Mn در برابر مقادیر Na ترسیم شده است.

#### ۴-۱. آهن (Fe)

مقادیر آهن در سنگ آهک‌های سازند دلالان بین ۶۹ تا ۷۰۵ پی‌پی‌ام (میانگین ۳۸۷ پی‌پی‌ام) در تغییر است. اطلاعات بسیار کمی در مورد مقدار آهن موجود در کربناتهای دریابی کم‌عمق آرگونیتی آبهای گرم عهد حاضر موجود است. در شکل ۸ مقادیر  $\text{Fe}^{2+}$  در برابر  $\text{Mn}^{2+}$  برای نمونه‌های آهکی سازند دلالان ترسیم شده است. چنان‌که ملاحظه می‌شود ارتباط این دو عنصر به صورت روند خطی افزایشی با شیب مثبت نشان داده می‌شود، این بدین معنی است که با افزایش تأثیر دیاژنر متئوریک مقادیر  $\text{Fe}^{2+}$  با افزایش مقادیر  $\text{Mn}^{2+}$  افزایش می‌یابد. دیاژنر متئوریک و شرایط احیایی باعث افزایش مقدار آهن و منگنز می‌شود. دگرسانی دیاژنتیکی باعث افزایش مقادیر  $\text{Fe}^{2+}$  و  $\text{Mn}^{2+}$  در کلسیت می‌شود، زیرا این عناصر در شرایط احیایی قابل حل هستند [۵۱].



شکل ۶. تغییرات مقادیر Mn در برابر مقادیر Sr در نمونه‌های آهکی سازند دالان. محدوده سازند دالان با محدوده سنگ‌های آهکی مزدوران مربوط به بخش کم عمق حوضه [۳۱] و سنگ آهک‌های گوردون تاسمانیا [۴۹]، نمونه‌های آهکی سازند کنگان در میدان گازی پارس جنوبی [۳]، نمونه‌های آهکی سازند کنگان [۴]، کربنات‌های سازند ایلام [۲۰] و کربنات‌های سازند فهلیان [۵۰] مقایسه شده است. نمونه‌های آهکی سازند دالان در محدوده نمونه‌های آراغونیتی مزدوران و سنگ آهک‌های گوردون تاسمانیا و کربنات‌های سازند کنگان، ایلام و فهلیان با ترکیب کانی‌شناسی اولیه آراغونیتی قرار گرفته است. کاهش مقادیر Mn در نمونه‌های آهکی سازند دالان در ارتباط با بسته بودن سیستم دیاژنتیکی و آراغونیتی بودن است

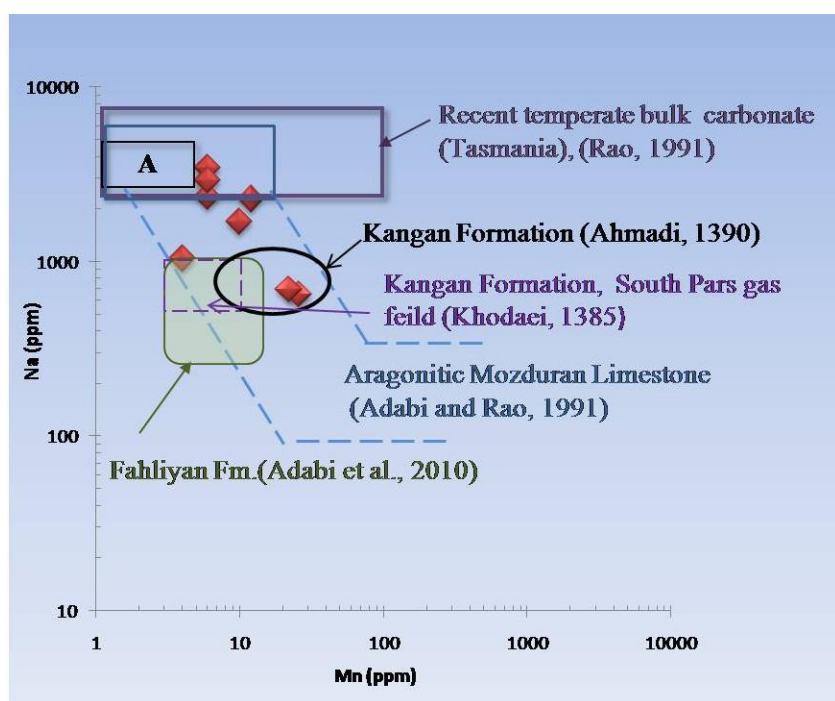
#### ۱-۵. نسبت استرانسیوم به منگنز (Sr/Mn) در برابر منگنز (Mn)

پترست [۵۲] در سال ۱۹۷۵ پیشنهاد کرده است که دیاژنز در سنگ‌های آهکی فرآیندی اتحال مرطوب<sup>۱</sup> و تهنشست مجدد است. در اثر اتحال آراغونیت و کلسیت دارای منیزیم زیاد نیمه‌پایدار و تبدیل آن‌ها به کلسیت کم منیزیم پایدار، مقادیر Sr کاهش یافته و بالعکس تمرکز Mn افزایش خواهد یافت. این فرآیند در سطح زمین و با نفوذ آبهای متئوریکی به مقدار زیادی تسهیل می‌شود [۴۵]، [۵۳] و باعث کم شدن نسبت Sr/Mn می‌شود [۱]. بنابراین از ترسیم نسبت Mn در مقابل Sr/Mn می‌توان به عنوان معیاری مفید برای تخمین اتحال آهک‌ها استفاده کرد [۴۹]. در این نمودار مقادیر نسبتاً زیاد Sr/Mn حاکی از سیستم دیاژنتیکی بسته<sup>۲</sup> برای کربنات‌های سازند دالان است

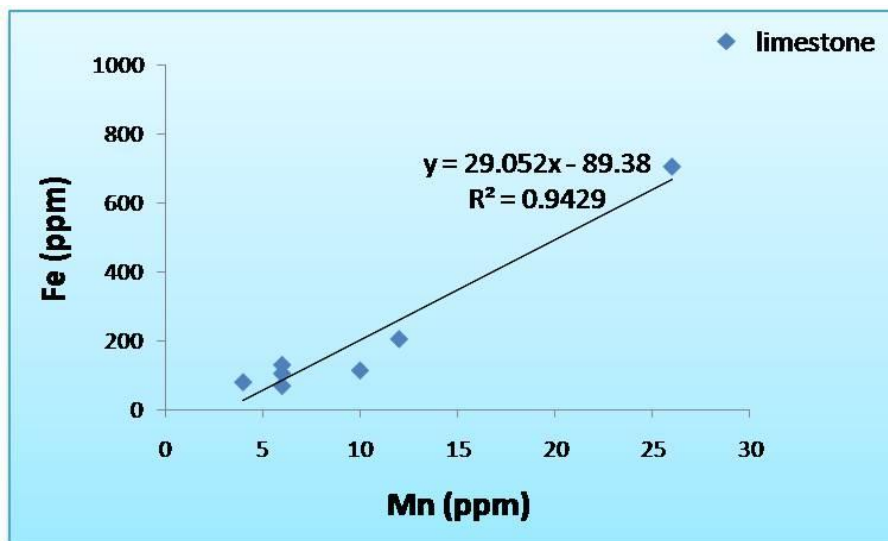
(شکل ۹).

1. Wet dissolution

2. Closed diagenetic system



شکل ۷. تغییرات مقادیر Mn در برابر مقادیر Na در نمونه‌های آهکی سازند دالان. در این شکل محدوده سازند دالان با محدوده‌های ارائه شده برای سنگ‌های آهکی مزدوران مربوط به بخش کم عمق حوضه [۳۱] و سنگ آهک‌های گوردون تاسمانیا [۴۹]، نمونه‌های آهکی سازند کنگان در میدان گازی پارس جنوبی [۳]، کربنات‌های سازند فهلیان [۵۰] و نمونه‌های آهکی سازند کنگان [۴] مقایسه شده است. نمونه‌های آهکی سازند دالان در محدوده نمونه‌های آراغونیتی مزدوران، سنگ آهک‌های گوردون تاسمانیا و نمونه‌های آهکی سازند کنگان و فهلیان با ترکیب کانی‌شناسی اولیه آراغونیتی قرار گرفته است. کم بودن مقادیر Mn در کربنات‌های سازند دالان در ارتباط با ترکیب کانی‌شناسی اولیه آراغونیتی و نیز بسته بودن سیستم دیاژنتیکی است



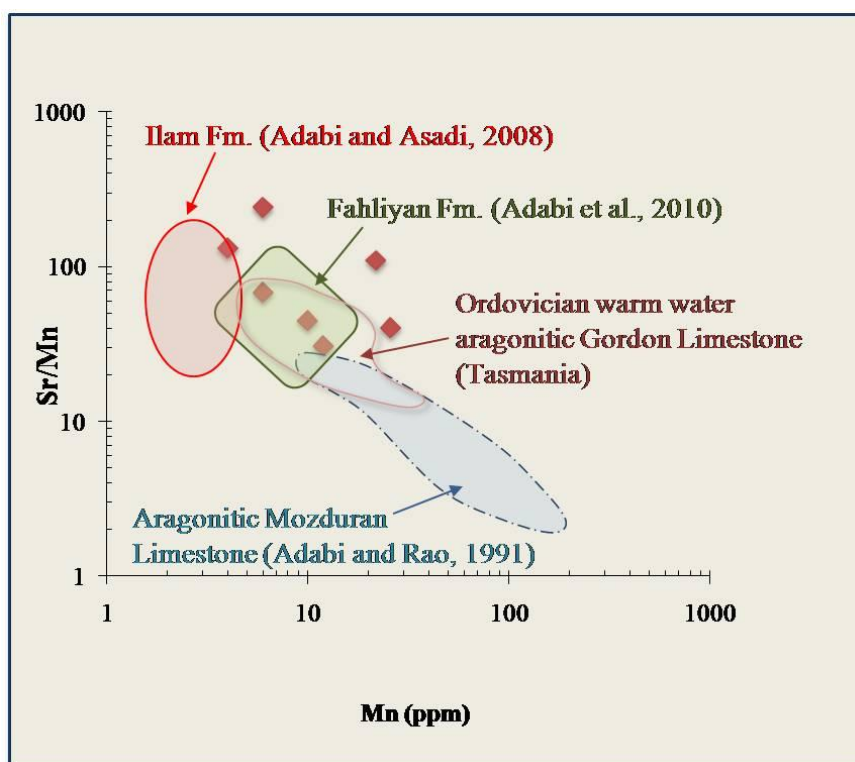
شکل ۸. ترسیم مقادیر Mn در برابر Fe برای نمونه‌های آهکی سازند دالان. چنان‌که مشاهده می‌شود ارتباط این دو عنصر به صورت روند خطی افزایش با شیب مثبت نشان داده می‌شود. این بدین معنی است که با افزایش تأثیر دیاژنز مقادیر آهن و منگنز نیز افزایش می‌یابد

#### ۱-۶. نسبت استرانسیوم به کلسیم ( $\text{Sr}/\text{Ca}$ ) در برابر منگنز ( $\text{Mn}$ )

از روی نسبت  $\text{Sr}/\text{Ca}$  در برابر  $\text{Mn}$ ، روند دیاژنر در سیستم‌های بسته و باز قابل تعیین است. روندهای دیاژنیکی برای آراغونیت ( $\text{Ar}$ )، کلسیت با منیزیم زیاد ( $\text{HMC}$ ) و کلسیت کم‌منیزیم ( $\text{LMC}$ ) که بهوسیله آب‌های متغیریکی تشییت شده‌اند در شکل ۱۰ نشان داده شده است [۵۴]. برخی محققان عقیده دارند که نسبت  $\text{Sr}/\text{Ca}$  و  $\text{Mg}/\text{Ca}$  در کربنات‌های بیوژنیکی با درجه حرارت قدیمه نیز انطباق دارد [۵۵]، [۵۶].

در سیستم دیاژنری باز با افزایش تبادلات آب به سنگ<sup>۱</sup> میزان  $\text{Sr}/\text{Ca}$  کاهش یافته و در نتیجه میزان  $\text{Sr}/\text{Ca}$  فازهای دیاژنری کمتر از ترکیبات اولیه خواهد بود. درحالی که در سیستم‌های دیاژنیکی بسته تا نیمه‌بسته<sup>۲</sup> فعل و انفعالات آب و سنگ کم است از این رو، نسبت  $\text{Sr}/\text{Ca}$  فازهای دیاژنری تغییرات محسوسی نسبت به ترکیبات اولیه خواهد داشت. به طور کلی کاهش منگنز در کلسیت دیاژنیکی نشان‌گر بسته بودن سیستم دیاژنیکی است [۵۷]، و افزایش منگنز نشان‌دهنده باز بودن سیستم دیاژنیکی و تأثیر آب‌های احیاکننده است. به طور کلی از روی تمرکز عناصر فرعی در کربنات‌ها می‌توان به درجه دگرسانی دیاژنیکی آن‌ها پی برد.

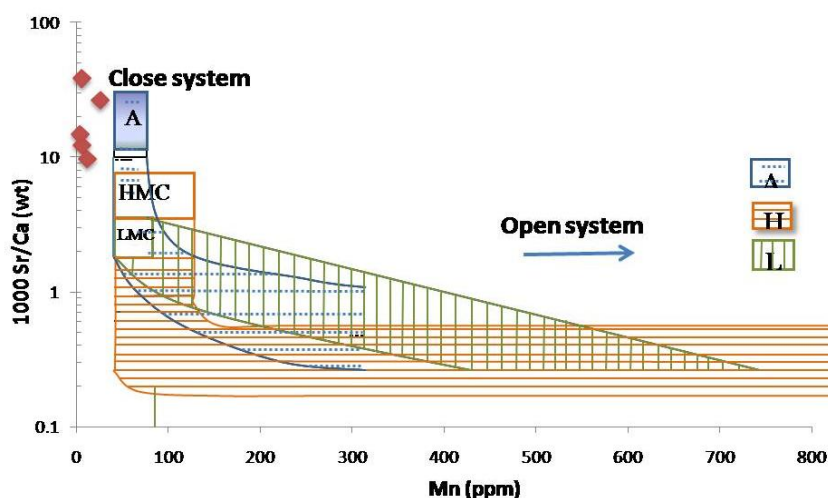
در شکل ۱۰ مقادیر  $\text{Sr}/\text{Ca}$  در مقابل مقادیر  $\text{Mn}$  برای نمونه‌های آهکی سازند دالان ترسیم شده است. در نمونه‌های آهکی سازند دالان به دلیل زیاد بودن مقادیر  $\text{Sr}/\text{Ca}$  و کم بودن مقادیر منگنز، چنین به نظر می‌رسد که این نمونه‌ها تحت تأثیر دیاژنریک در یک سیستم دیاژنیکی بسته قرار گرفته‌اند.



شکل ۹. تغییرات  $\text{Sr}/\text{Mn}$  در برابر  $\text{Mn}$  در نمونه‌های آهکی سازند دالان. در این شکل محدوده سازند دالان با محدوده‌های ارائه شده برای سنگ‌های آهکی مزدوران مربوط به بخش کم عمق حوضه [۳۱] آهک‌های آراغونیتی گوردون تاسمانیا [۴۵] و کربنات‌های سازند فهليان و ايلام مقایسه شده است. مقادیر بالای  $\text{Sr}/\text{Mn}$  در مقابل  $\text{Mn}$  حاکی از سیستم دیاژنیکی بسته است

1. Water/rock interaction

2. closed and semi-closed diagenetic system



شکل ۱۰. تغییرات مقادیر  $Mn$  در مقابله  $Sr/Ca$  در نمونه‌های آهکی سازند دالان. با توجه به محدوده‌های ترسیم شده بهوسیله براند و وایزر [۵۴]، برای روند دیاژنتیک آراغونیت (A)، کلسیت پرمیزیم (HMC) و کلسیت کم منیزیم (LMC)، نمونه‌های سازند دالان عمدتاً تحت تأثیر دیاژنز متئوریک در یک سیستم دیاژنتیکی بسته قرار گرفته‌اند

## ۲. مطالعات ژئوشیمیایی دولومیت‌ها

با تعیین مقادیر عناصر اصلی ( $Ca, Mg$ ) و فرعی ( $Na, Sr, Fe, Mn$ ) و ترکیب ایزوتوپی در دولومیت‌ها می‌توان اطلاعات باارزشی در خصوص منشأ دولومیت، زمان تشکیل، ترکیب سیالات دولومیت ساز، مدل دولومیتی‌شدن و روند دیاژنز به‌دست آورد [۵۸، ۵۹].

### ۲-۱. عناصر اصلی

تمرکز کلسیم و منیزیم در دولومیت‌ها به نسبت  $Mg/Ca$  در سیالات بستگی دارد [۶۰]. در نمونه‌های دولومیتی سازند دالان مقدار کلسیم به‌طور میانگین بین ۳۰ درصد و مقدار منیزیم بین ۸/۴۵ تا ۷/۴ (به‌طور میانگین در تغییر است (جدول ۳)). در سنگ‌های آهکی و دولومیتی تغییرات کلسیم و منیزیم رابطه معکوس دارد و این به‌دلیل جانشینی بخشی از کلسیم بهوسیله منیزیم در کربنات‌های دولومیتی است.

### ۲-۲. عناصر فرعی

۲-۲-۱. سدیم ( $Na$ ): مقدار سدیم در نمونه‌های دولومیتی توالی بررسی شده بین ۳۵۳۲ تا ۳۵۴۰ پی‌پی‌ام در تغییر است (جدول ۳). تغییرات سدیم در دولومیت‌های دریایی با شوری نرمال بین ۱۱۰ تا ۱۶۰ پی‌پی‌ام است [۴۰]. ترسیم مقادیر  $Na$  در مقابل  $Mg$  حاکی از افزایش سدیم با افزایش منیزیم است (شکل ۱۲). مقادیر زیاد سدیم در نمونه‌های سازند دالان در ارتباط با شوری بالای سیالات دولومیت ساز بوده است.

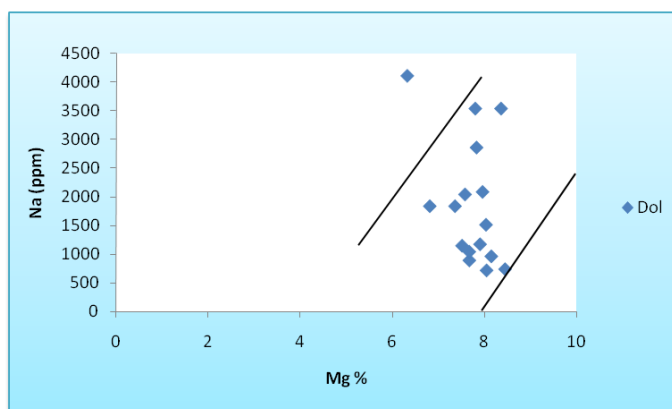
۲-۲-۲. استرانسیوم ( $Sr$ ): مقدار استرانسیوم در نمونه‌های دولومیتی توالی بررسی شده بین ۲۰۸ تا ۲۸۸۸ پی‌پی‌ام است (جدول ۳). ترسیم مقادیر  $Sr$  در مقابل  $Mg$  نشان می‌دهد که با افزایش مقادیر منیزیم، مقدار استرانسیوم کاهش می‌یابد (شکل ۱۳). به‌دلیل تشابه یونی با  $Ca$ ، معمولاً بهجای  $Ca$  در شبکه دولومیت‌ها می‌نشینند و از آن‌جاکه مقدار  $Ca$  در دولومیت‌ها نصف کلسیت است، از این‌رو، مقدار  $Sr$  در دولومیت‌ها نصف کلسیت است [۱]. زیاد بودن

مقدار استرانسیوم در نمونه‌های دولومیت سازند دالان احتمالاً به دلیل غیراستوکیومتری یا غیرایده‌آل بودن این دولومیت‌هاست زیرا براساس بررسی‌های انجام شده مقدار استرانسیوم در دولومیت‌ها با افزایش استوکیومتری بودن دولومیت‌ها کاهش می‌یابد [۶۱]، و یا به دلیل ترکیب کانی‌شناسی اولیه آرگونیتی آهک‌هایی است که بعداً دولومیتی شده‌اند [۱۸].

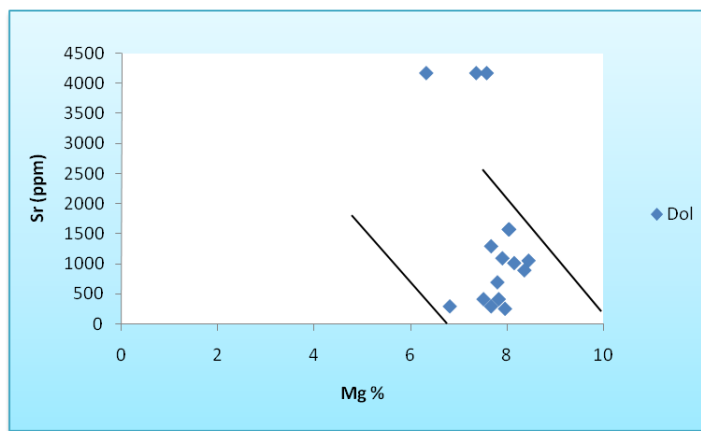
**جدول ۳. تغییرات عناصر اصلی و فرعی به همراه مقادیر حداکثر، حداقل و میانگین در نمونه‌های دولومیتی سازند دالان در چاه شماره X**

No.	Formation	Depth (m)	Mg (%)	Ca (%)	Sr (ppm)	Na (ppm)	Fe (ppm)	Mn (ppm)
۹	Dalan	۳۱۰۸	۶,۸۱	۲۱,۴۳	۲۸۸	۱۸۳۸	۷۳۹	۵۹
۱۰	Dalan	۳۳۰۶	۷,۳۶	۲۹,۲	-	۱۸۳۸	۱۵۵	۱۴
۱۱	Dalan	۳۱۷۲	۸,۰۵	۲۹,۷۰	۴۰۸	۷۲۳	۲۳۴	۲۴
۱۲	Dalan	۳۲۹۲	۶,۳۲	۳۴,۳۰	۶۸۸	-	۲۶۸	۱۶
۱۳	Dalan	۲۹۹۰	۸,۰۷	۳۴,۳۰	۲۸۸	۱۵۱۶	۵۳۳	۲۶
۱۴	Dalan	۳۰۱۹	۷,۶۰	۲۸,۰۷	۱۰۸۸	۲۰۴۲	۶۰۳	۲۴
۱۵	Dalan	۳۱۵۹	۷,۵۱	۲۶,۵۰	۱۲۸۸	۱۱۵۲	۱۷۸	۲۶
۱۶	Dalan	۲۹۶۲	۷,۸۰	۲۳,۷۱	۲۴۸	۳۵۳۲	۱۲۴۴	۳۵
۱۷	Dalan	۳۱۴۲	-	-	۲۰۸	۳۲۸۷	۱۲۹۹	۲
۱۸	Dalan	۳۱۶۶	۷,۷۰	۲۱,۶۰	۴۰۸	۸۹۷	۳۵۰	۲۸
۱۹	Dalan	۳۰۲۲	۷,۹۱	۲۵,۴۴	۱۰۴۸	۱۱۷۷	۴۸۶	۳۹
۲۰	Dalan	۳۰۸۵	۷,۷۰	۲۳,۷۰	۱۰۰۸	۱۰۴۷	۸۴۱	۵۳
۲۱	Dalan	۳۱۰۲	۸	۳۵,۴۴	۸۸۸	۲۰۸۶	۴۵۶	۳۹
۲۲	Dalan	۳۱۵۵	۷,۸۳	۲۵,۰۲	۱۰۴۸	۲۸۵۶	۵۶۹	۳۷
۲۳	Dalan	۳۰۲۸	۸,۴۵	۳۱,۹۱	۳۲۸	۷۴۵	۲۷۳	۶
۲۴	Dalan	۳۰۴۳	۸,۱۵	۲۶	۲۸۸	۹۶۷	۹۰۹	۵۱
۲۵	Dalan	۳۰۸۸	۸,۳۶	۳۰,۸۰	۵۶۸	۳۵۳۲	۳۳۶	۲۸
۲۶	Dalan	۳۱۸۳	-	۳۹,۰۴	-	۶۴۰	۹۲	۶
۲۷	Dalan	۳۲۴۰	۷,۲۷	۳۲,۳۰	۲۲۸۸	۳۲۱۰	۸۲	۱۴
۲۸	Dalan	۳۲۱۴	۸,۲۶	۳۴,۷۱	۳۲۸	۴۷۸۷	۱۰۱	۱۸
۲۹	Dalan	۳۰۰۴	۸,۰۵	۳۲,۲۹	۱۵۶۸	۱۵۹۱	۴۶۱	۲۸
۳۰	Dalan	۳۱۱۷	۸	۲۷,۹۰	۳۲۸	۲۲۳۵	۴۵۶	۲۶
۳۱	Dalan	۳۰۹۹	۷,۹۰	۲۵,۵۴	۳۲۸	۱۴۶۳	۳۴۳۵	۵۵
۳۲	Dalan	۳۱۳۷	۷,۹۶	۲۶,۴۴	۴۰۸	۱۰۱۲	۶۰۳	۳۷
۳۳	Dalan	۳۲۹۶	۵,۹۹	-	۱۴۸۸	۱۶۲۳	۹۸	۱۰
۳۴	Dalan	۳۰۳۸	۷,۷۱	۲۴,۹۰	۶۸۸	۲۱۹۲	۵۷۶	۲۲
۳۵	Dalan	۲۹۵۸	۷,۶۶	۲۲,۴۰	۳۲۸	۳۲۲۹	۱۱۷۲	۳۹
۳۶	Dalan	۳۲۲۰	۵,۰۱	۳۳,۴۰	۱۸۴۸	۹۹۰	۸۰	۸
۳۷	Dalan	۳۱۸۸	۷,۸۸	۲۳,۴۰	۴۰۸	۳۴۸۵	۴۹۷	۴۷
۳۸	Dalan	۳۱۳۰	۷,۱۶	۲۵,۸۰	۲۸۸۸	۵۳۵	۲۴۱	۱۶
۳۹	Dalan	۳۱۲۲	۷,۷۳	۲۲,۶۴	۷۶۸	۱۸۳۰	۴۱۵	۲۶

	Formation	Mg (%)	Ca (%)	Sr (ppm)	Na (ppm)	Fe (ppm)	Mn (ppm)
<b>Max</b>	Dalan	۸,۴۵	۳۹,۰۴	۲۸۸۸	۴۷۸۷	۳۴۳۵	۵۹
<b>Min</b>	Dalan	۵,۰۱	۲۱,۴۳	۲۰۸	۵۳۵	۸۰	۲
<b>Mean</b>	Dalan	۶,۹۸	۳۰,۲۴	۱۵۴۸	۲۶۶۱	۱۷۵۷	۳۰,۵

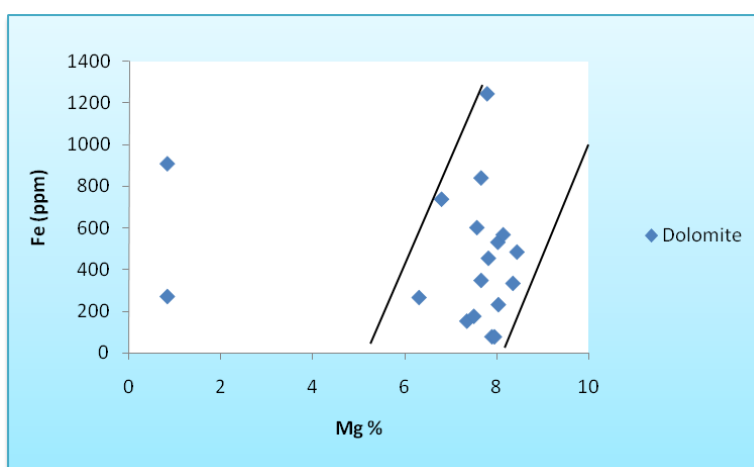


شکل ۱۲. ترسیم مقادیر  $Mg$  در مقابل  $Na$  در نمونه‌های دولومیتی سازند دالان. روند افزایشی و ارتباط مثبت این دو عنصر قابل توجه است. زیاد بودن میزان سدیم در این نمونه‌ها احتمالاً به دلیل شوری زیاد سیالات دولومیتساز و نیز تأثیر کم دیاژنز غیردریایی روی این نمونه‌ها است

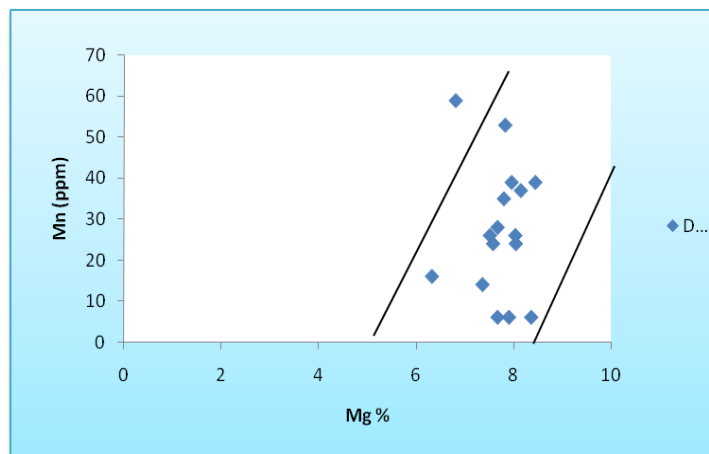


شکل ۱۳. ترسیم مقادیر  $Mg$  در مقابل  $Sr$  در نمونه‌های دولومیتی سازند دالان. به دلیل این که استرانسیوم در شبکه بلوری دولومیت به جای کلسیم جای‌گزین می‌شود، مقادیر  $Sr$  با افزایش مقدار  $Mg$  کاهش می‌یابد و ارتباط این دو عنصر به صورت روند منفی است

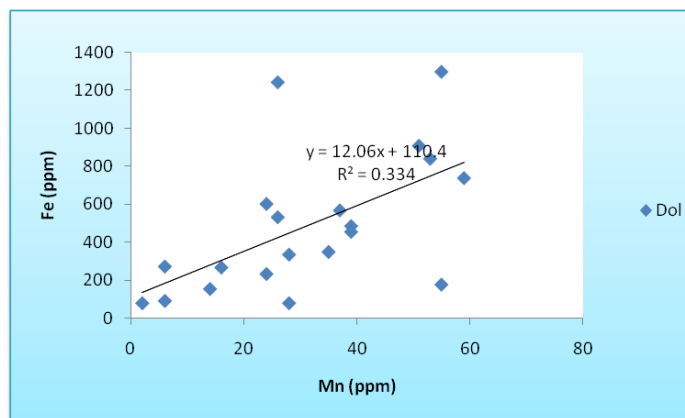
۲-۳-۲. آهن و منگنز: مقادیر آهن در نمونه‌های دولومیتی سازند دالان بین ۳۴۳۵ پی‌پی‌ام و مقادیر منگنز بین ۲ تا ۵۹ پی‌پی‌ام در تغییر است (جدول ۳). تمرکز آهن و منگنز به شرایط احیایی حاکم بر محیط بستگی دارد به طوری که مقادیر آهن و منیزیم در دولومیت‌های اولیه نزدیک سطح به دلیل شرایط اکسیداسیونی نسبت به دولومیت‌های تعریفی که در شرایط احیایی تشغیل می‌شوند کمتر است [۱۶]، [۱۸]، [۱۹] شکل (۱۴). ترسیم مقادیر  $Mg$  در مقابل  $Mn$  در نمونه‌های دولومیتی سازند دالان روندی افزایشی با شبیه مثبت را نشان می‌دهد (شکل ۱۵). همچنان ترسیم مقادیر  $Mn$  در برابر  $Fe$  روندی خطی با شبیه مثبت را نشان می‌دهد (شکل ۱۶). این روند افزایشی حاکی از دگرسانی دولومیت‌ها به وسیله سیالات دیاژنتیکی است.



شکل ۱۴. ترسیم مقادیر  $Mg$  در مقابل  $Fe$  در نمونه‌های دولومیتی سازند دالان. با افزایش مقادیر منیزیم مقادیر آهن نیز افزایش می‌یابد که این امر به دلیل جانشینی یون‌های آهن به جای منیزیم در شبکه بلوری دولومیت است



شکل ۱۵. ترسیم مقادیر  $Mg$  در مقابل  $Mn$  در نمونه‌های دولومیتی سازند دالان. کم بودن مقدار منگنز در نمونه‌های دولومیتی سازند دالان نشان‌دهنده شرایط اکسیدان در محیط تشکیل دولومیت‌ها است



شکل ۱۶. ترسیم مقادیر  $Mn$  در مقابل  $Fe$  در نمونه‌های دولومیتی سازند دالان. چنان‌که مشاهده می‌شود ارتباط این دو عنصر به صورت روند خطی افزایشی با شیب مثبت نشان داده می‌شود. این بدین معنی است که با افزایش دگرسانی به وسیله سیالات دیاژنتیکی، مقادیر  $Fe$  و  $Mn$  افزایش می‌یابد

### نتیجه‌گیری

سازند دالان به سن پرمین در چاه شماره X به ضخامت ۳۷۰ متر دارای لیتولوژی غالب آهک و دولومیت است. با بررسی مقاطع نازک تعداد ۱۸ ریز رخساره مربوط به زیر محیط‌های پهنه جزر و مدی، لاغون، پشته کربناته و دریای باز کانی‌شناسی شده است که نشان می‌دهد این سازند در یک پلاتفرم کربناته از نوع رمپ هموکلینال نهشته شده است. رخساره‌های دولومادستون با فاپریک فنسترا، بایندستون استروماتولیتی با فاپریک فنسترا، پلوئیدال اینترالکلس مادستون/وکستون، دولومادستون با بلورها و قالب‌های پراکنده اندیدریت، دولومادستون با ندول‌های اندیدریت، اندیدریت متبلور (لایه‌ای) در کمربند رخساره‌ای پهنه جزر و مدی تشکیل شده‌اند. رخساره‌های مادستون با یوکلاست‌دار، مادستون/وکستون با یوکلاستی دارای آشفتگی زیستی، آنکوئید پکستون، گرینستون جلبکی، یا یوکلاست پکستون، پلوئیدال وکستون/پکستون در کمربند رخساره‌ای لاغون تشکیل شده‌اند. رخساره‌های پلوئید ائید گرینستون، ائید گرینستون، ائید اینترالکلس گرینستون، اینترالکلس یا یوکلاست گرینستون در کمربند رخساره‌ای پشته کربناته نهشته شده‌اند. رخساره‌های یا یوکلاست پکستون/وکستون و یا یوکلاست پکستون همراه با اینترالکلس‌های میکریتی در بخش عمیق تر دریا و قسمت‌های زیر پشته کربناته تشکیل شده‌اند.

بر اساس پژوهش‌های پتروگرافی با توجه به وجود تخلخل قالبی زیاد، فراوانی بالای دوکفه‌ای‌ها، دولومیتی شدن انتخابی، وجود اسپالد ائید، وجود سیمان ایزوپک دریایی و انحلال گسترده ترکیب کانی‌شناسی اولیه این سازندها آراغونیتی تعیین شده است.

نتایج حاصل از بررسی عناصر اصلی و فرعی و نسبت این عناصر در نمونه‌های آهکی سازند دالان، نشان‌دهنده ترکیب کانی‌شناسی اولیه آراغونیتی در یک آب و هوای حاره‌ای و عمق کم تهنشست است. مقایسه نمونه‌های آهکی با محدوده‌های ارائه شده برای آراغونیت‌های گوردن تاسمانی، آهک‌های آراغونیتی مزدوران و محدوده‌های ترسیم شده برای سازندهای فهلیان و ایلام و کنگان و با توجه به قرارگیری نمونه‌ها در این محدوده‌ها تأییدی بر کانی‌شناسی اولیه آراغونیتی است. بررسی تغییرات مقادیر Sr/Ca در مقابل Mn در نمونه‌های آهکی سازند دالان با توجه به محدوده‌های ترسیم شده براند و وایز (۱۹۸۰)، برای روند دیاژنتیک آراغونیت (Ar)، کلسیت پرمیزیم (HMC) و کلسیت کم منیزیم (LMC)، بیان‌گر این است که نمونه‌های میکریتی سازند دالان تحت تأثیر دیاژنز مسئوریک در یک سیستم دیاژنتیکی بسته قرار گرفته‌اند. زیاد بودن مقادیر استرانسیم و سدیم، کم بودن مقادیر منگنز، مقادیر زیاد Sr/Mn در نمونه‌های آهکی تأییدی بر محیط بسته دیاژنزی و کانی‌شناسی اولیه آراغونیتی است.

بررسی ژئوشیمیایی دولومیت‌های سازند دالان نشان می‌دهد که مقادیر Fe, Mn, Mg در نمونه‌های دولومیتی بیشتر از نمونه‌های آهکی است، در حالی که مقادیر Ca, Sr, Na در نمونه‌های آهکی بیشتر از نمونه‌های دولومیتی است که دلیل آن جانشینی ترجیحی عناصر آهن و منگنز به جای منیزیم در شبکه بلوری دولومیت و جانشینی ترجیحی عناصر سدیم و استرانسیوم به جای کلسیم در شبکه بلوری آراغونیت است. از این روش می‌توان برای تفکیک نمونه‌های آهکی از دولومیتی استفاده کرد.

به طور کلی تعیین کانی‌شناسی اولیه از لحاظ تعیین کیفیت مخزنی و تأثیرات دیاژنتیکی اهمیت بسیار دارد. از لحاظ تأثیر بر کیفیت مخزنی و پدیده‌های دیاژنتیکی با ایجاد تخلخل ثانویه سبب بهبود کیفیت مخزنی می‌شود. زیرا زمانی که کانی‌شناسی اولیه سازند کلسیت باشد در این حالت تخلخل ثانویه وجود ندارد و تخلخل اولیه است.

## منابع

۱. آدابی م.ح، "ژئوشیمی رسوی"، انتشارات آرین زمین، چاپ دوم (۱۳۹۰) ۵۰۴.
۲. مطیعی ه.، "زمین‌شناسی ایران، زمین‌شناسی نفت زاگرس ۱ و ۲"، انتشارات سازمان زمین‌شناسی کشور (۱۳۷۴) ۱۰۰۹.
۳. خدایی نواب، "ژئوشیمی و دیاژنز سازند کنگان در میدان پارس جنوبی"، پایان‌نامه کارشناسی ارشد، دانشگاه شهید بهشتی (۱۳۸۵).
۴. احمدی ناهید، "محیط رسوی، دیاژنز و ژئوشیمی سازندهای دالان بالائی و کنگان در میدان گازی لاون"، حوضه خلیج فارس، پایان‌نامه کارشناسی ارشد، دانشگاه شهید بهشتی (۱۳۹۰).
5. Konyuhov A.I., Maleki B., "The Persian Gulf Basin: Geological history, sedimentary formations, and petroleum potential", *Lithology and Mineralogy Resources*, Russia, 4 (2006) 334-361.
6. Kashfi M.S., "Greater Persian Gulf Permian-Triassic stratigraphic nomenclature requires study", *Oil Gas Journal*, Tulsa, 6 (2000) 36-44.
7. Aali J., Rahimpour-Bonaband H., Kamali M.R., "Geochemistry and origin of the world largest gas field from Persian Gulf, Iran", *Journal of Petroleum of Science and Engineering*, 50 (2006) 161-175.
8. Kelemme H.D., "Oil and gas maps and sections of the Arabian-Iranian basin", U.S. Geological Survey Open-File Report: 84/0353 (1984).
9. Szabo F., Kheradpir A., "Permian and Triassic Stratigraphy, Zagros Basin, southwest Iran", *Journal of Petroleum Geology*, 1 (1978) 57-82.
10. Marro E., Virgone A., "The Permian-Triassic boundary characterization in Persian Gulf, Iran", Unpublished Report of TOTAL (1999).
11. Rouyer S., Masse P., "Sedimentology and bio-stratigraphy of two Permo-Triassic sections (Kangan/Dalan Formations) Zagros, Iran", Unpublished Report of TOTAL (2002).
12. Dickson J.A.D., "A modified staining technique for carbonate in thin section", *Nature* (1965) 205: 587.
13. Dunham R.J., "Classification of carbonate rocks according to depositional texture", *American Association of Petroleum Geologists Bulletin*, 1 (1962) 108-121.
14. Flugel E., "Microfacies of Carbonate Rocks: Analysis, Interpretation and Application", Springer Verlag, New York (2010) 996.

15. Gaumet F., Van Buchem F.S., Baghbani D., Keyvani F., Ashrafzadeh R., Bahrami H., and Assilian H., "Sequence stratigraphy of the Jurassic and Lower Cretaceous in the Dezful Embayment (Southwest Iran)", NIOC-IFP joint research project, Geological Report, 2139 (2005) 79.
16. Tucker M.E., Wright V.P., "Carbonate Sedimentology". Oxford, Blackwell Scientific Publications (1990) 404.
17. Ahmad A.H.M., Bhat G.M., Azim Khan M.H., "Depositional environments and diagenesis of the Kuldhar and Keera Dome carbonates (Late Bathonian-Early Callovian) of Western India", Journal of Asian Earth Sciences, 27 (2006) 765-778.
18. Adabi M.H., "Multistage dolomitization of Upper Jurassic Mozduran Formation, Kopet-Dagh Basin, N.E.Iran", Carbonates and Evaporites, 24 (2009) 16-32.
19. Warren J.K., "Dolomite: occurrence, evolution and economically important associations", Earth Science Reviews, 52 (2000) 1-81.
20. Adabi M.H., Asadi E., "Mehmandosti.Microfacies and geochemistry of the Ilam Formation in the Tang-e- Rashid area, Izeh", S.W. Iran: Journal of Asian Earth Sciences, 33 (2008) 267-277.
21. Sibley D.F., Gregg J.M., "Classification of dolomite rock texture", Journal of Sedimentary Petrology, 57(1987) 967-975.
22. Wilson J.L., "Carbonate Facies in Geologic History", New York, Springer-Verlag (1975) 471.
23. Asadi E., Adabi M.H., "Application of geochemical data as evidence of water-rock interaction in the Sarvak Formation, Izeh Zone, Zargros, Iran", Procedia Earth and Planetary Science, 7 (2013) 31-35.
24. Elrick M., Read J., "Cyclic ramp to basin carbonate deposits, Lower Mississippian", Wyoming and Montana, Journal of Sedimentary Petrology, 61 (1991) 1194-1224.
25. Vaziri-Moghaddam H.M., Kimiagari, Taheri A., "Depositional environment and sequence stratigraphy of the Oligocene-Miocene Asmari Formation in SW Iran", Lali Area: Facies, 52 (2006) 41-51.
26. Rahimpour-Bonab H., Asadi-Eskandar A., Sonei R., "Effect of Permian-Triassic boundary on reservoir characterices of the South Pars gas field, Persian Gulf", Journal of Geology, 44 (2009) 341-364.

27. Heydari E., Arzani N., Hassanzadeh J., "Reply to comment on 'Mantle Plume: the invisible serial killer-Application to the Permian-Triassic boundary mass extinction'", *Palaeogeography, Palaeoclimatology, Palaeoecology* (2009) 147-162.
28. Burchette T.P., Wright V.P., "Carbonate ramp depositional systems", *Sedimentary Geology*, 79 (1992) 3-57.
29. Martini R., Cirilli S., Saurer C., Abate B., Ferruzza G., Lo Cicero G., "Depositional environment and biofacies characterization of the Triassic (Carnian to Rhaetian) carbonate succession of Punta Bassano (Marettimo Island, Sicily)", *Facies*, 53 (2007) 390-400.
30. Ahmad A.H.M., Bhat G.M., Azim Khan M.H., "Depositional environments and diagenesis of the Kuldhar and Keera Dome carbonates (Late Bathonian-Early Callovian) of Western India", *Journal of Asian Earth Science*, 27 (2006) 765-778.
31. Adabi M.H., Rao C.P., "Petrographic and geochemical evidence for original aragonitic mineralogy of Upper Jurassic carbonate (Mozdurian Formation) Sarakhs area, Iran", *Sedimentary Geology*, 72 (1991) 253-267.
32. MacNeil A.J., Jones B., "Dolomitization of the Pedro castle Formation (Pliocene), Cayman Brac, British West Indies", *Journal of Sedimentary Geology*, 164 (2003) 219-238.
33. Mackenzie J.A., "Holocene dolomitization of calcium carbonate sediments from the coastal sabkhas, Abu Dhabi", UAE: a stable isotope study: *Journal of Geology*, 89 (1981) 185-198.
34. Rahimpour-Bonab H., Esrafilii-Dizaji B., Tavakoli V., "Dolomitization and anhydrite precipitation in Permo-Triassic carbonates at the South Pars Gasfield, offshore Iran: controls on reservoir quality", *Petroleum Geology*, 33 (2010) 1-24.
35. Moore C.H., "Carbonate Reservoirs: Porosity evolution and diagenesis in a sequence stratigraphic framework", *Development in Sedimentology*, Amsterdam (Elsevier), 55 (2001) 460.
36. Richter D.K., Neuser R.D., Schreuer J., Gies H., Immenhauser A., "Radial-Fibrous calcites: A new look at an old problem. *Sedimentary Geology*", Doi: 10.1016/j.sedgeo, 2011.06.003 (2011) 1-14.
37. Milliman J.D., "Marine Carbonates Recent Sedimentary Carbonates", Part 1, Springer-Verlag, Berlin (1974) 375.
38. Rao C.P., Adabi M.H., "Carbonate minerals, major and minor elements and oxygen and carbon isotopes and their variation with water depth in cool, temperate carbonates, western Tasmania", *Australia, Marine Geology*, 103 (1992) 249-272.

39. Rao C.P., Amini Z.Z., "Faunal relationship to grain-size, mineralogy and geochemistry in recent temperate shelf carbonates, western Tasmania", Australia: Carbonates and Evaporites, 10 (1995) 114-123.
40. Veizer J., "Trace elements and stable isotopes in sedimentary carbonates: In Reeder, R.J., (ed.), Carbonates: Mineralogy and Chemistry", Reviews in Mineralogy, Blacksburg, 11 (1983) 265-299.
41. Morrison J.O., Brand U., "Geochemistry of Recent marine invertebrates: Geoscience Canada, 13 (1986) 237-254.
42. Cantrell D.L., "Cortical fabrics of Upper Jurassic ooid, Arab Formation, Saudi Arabia: Implication for original carbonate mineralogy", Sedimentary Geology, 186 (2006) 157-170.
43. Land L.S., Hoops G.K., "Sodium in carbonate sediments and rocks: Apossible index to salinity of diagenetic solution", Journal of Sedimentary Petrology, 43 (1973) 614-617.
44. Brand U., Veizer J., "Chemical diagenesis of multicomponent carbonate system", II: stable isotopes, Journal of Sedimentary Petrology, 51 (1980) 987-997.
45. Rao C.P., "Geochemical characteristics of cool-temperate carbonates", Tasmania, Australia, Carbonates and Evaporites, 5 (1990) 209-221.
46. Pingitore N.E., "The behavior of Zn and Mn during carbonate diagenesis theory and application", Journal of Petroleum Geology, 48 (1978) 799- 814.
47. Pingitore N.E., Eastman M.P., Sandidge M., Oden K., Freiha B., "The coprecipitation of manganese (II) with calcite", an experimental study: Marine. Chemistry, 25 (1988) 107-120.
48. Mucci A., "Manganese uptake during calcite precipitation from seawater: conditions leading to the formation of a pseudokatnahirite: Geochemical at Cosmochemical", Acta, 52 (1988) 1859-1868.
49. Rao C.P., "Geochemical differences between subtropical (Ordovician), temprate (Recent and Pleistocene) and subpolar (Permian) carbonates", Tasmania, Australia: Carbonates and Evaporites, 10 (1991) 114-123.
50. Adabi M.H., Salehi M.A., Ghobeishavi A., "Depositional environment, sequence stratigraphy and geochemistry of Lower Cretaceous carbonates (Fahliyan Foemation), South-west Iran", Journal of Asian Earth Sciences, 39 (2010) 148-160.
51. Wierzbowski H., Joachimiski M., "Reconstruction of late Bajocian-Bathonian marine palaeoenvironments using carbon and oxygen isotope ratios of calcareous fossils from the Polish Jura Chain (Central Poland)", Palaeogeography, Palaeoclimatology, Palaeoecology, 254 (2007) 523-540.

52. Bathurst R.G.C., "Carbonate Sediments and their Diagenesis, Developments in Sedimentology", Elsevier, Amsterdam, 12 (1975) 658.
53. Budd D.A., "Dissolution of high-Mg calcite fossils and the formation of biomolds during mineralogical stabilization", *Carbonates and Evaporites*, 7 (1992) 74-81.
54. Brand U., Veizer J., "Chemical diagenesis of multicomponent carbonate system", II: stable isotopes, *Journal of Sedimentary Petrology*, 51 (1980) 987-997.
55. Bailey T.K., Rosenthal Y., McArthur J.M., Van B., de Schootburge, Thirlwall M.F., "Paleoceanographic changes of the late Pliensbachian-early Toarcian interval: a possible link to the genesis of Oceanic Anoxic Events", *Earth and Planetary Science Letter*, 212 (2003) 307-320.
56. Rosales I., Robles S., Quesada S., "Elemental and oxygen isotope composition of Early Jurassic Belemnites: salinity vs. temperature signals", *Journal of Sedimentary Research*, 74 (2004) 342-354.
57. Brand U., Azmy K., Veizer J., "Evaluation of the salinic I tectonic, Cancaniri glacial and Ireviken biotic events: Biostratigraphy of the Lower Silurian succession in the Niagara Gorge area, Canada and U.S.A.", *Palaeogeography, Palaeoclimatology, Palaeoecology*, 241 (2006) 192-213.
58. Mazzullo S.J., "Organogenic dolomitization in peritidal to deep-sea sediments", *Journal of Sedimentary Research*, 70 (2000) 10-23.
59. Land L.S., "The origin of massive dolomite", *Journal of Geological Education*, 33 (1985) 112-125.
60. Sass E., Bein A., "Dolomites and salinity: a comparative geochemical study: In Shukla, V., Baker, P.A., (eds.), *Sedimentology and Geochemistry of Dolostones*", Society, Economic, Paleontology and Mineralogy, Special Publication, 43 (1988) 223-233.
61. Humphry J.D., "Late Pleistocene mixing zone dolomitization, Southeastern Barbados, West Indies", *Journal of Sedimentology*, 35 (1988) 327-348.